

Respuesta de Sitio en Suelos

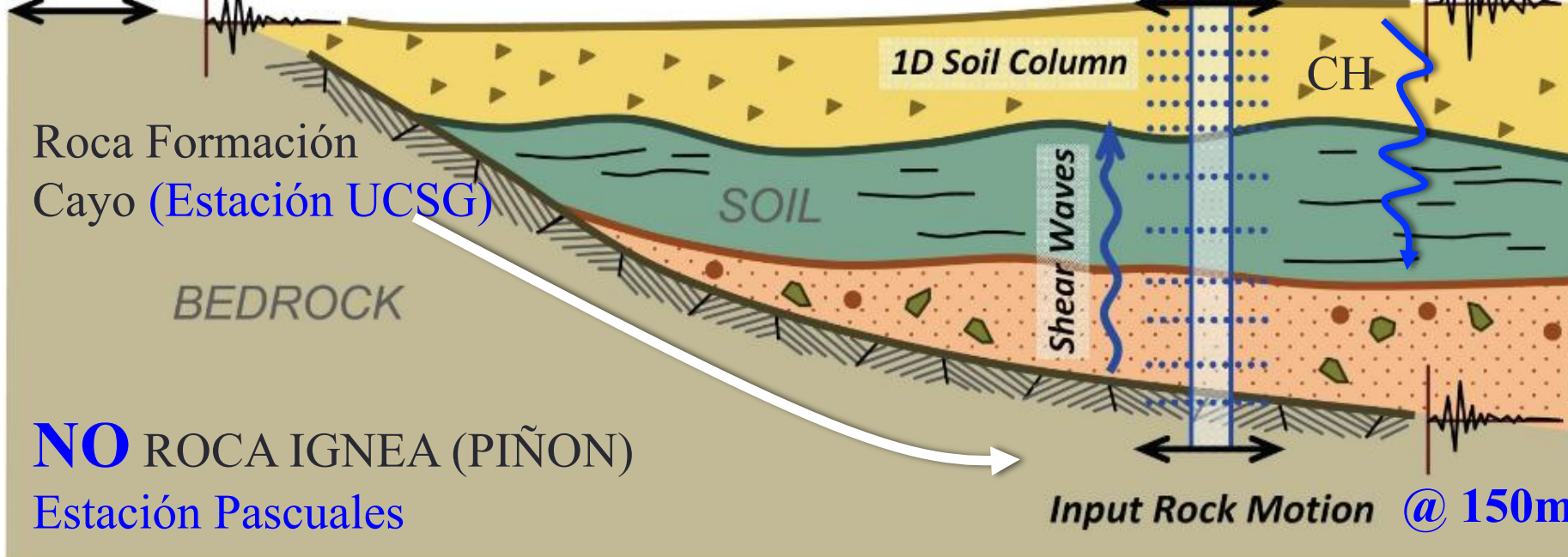
Xavier Vera Grunauer, Ph.D., D.GE., A.M. ASCE

Director

Instituto de Ingeniería (IIFIUC) de la Universidad Católica de
Santiago de Guayaquil.

**Input
Rock Motion**

**Computed
Motion**



Roca Formación
Cayo (Estación UCSG)

BEDROCK

1D Soil Column

SOIL

Shear Waves

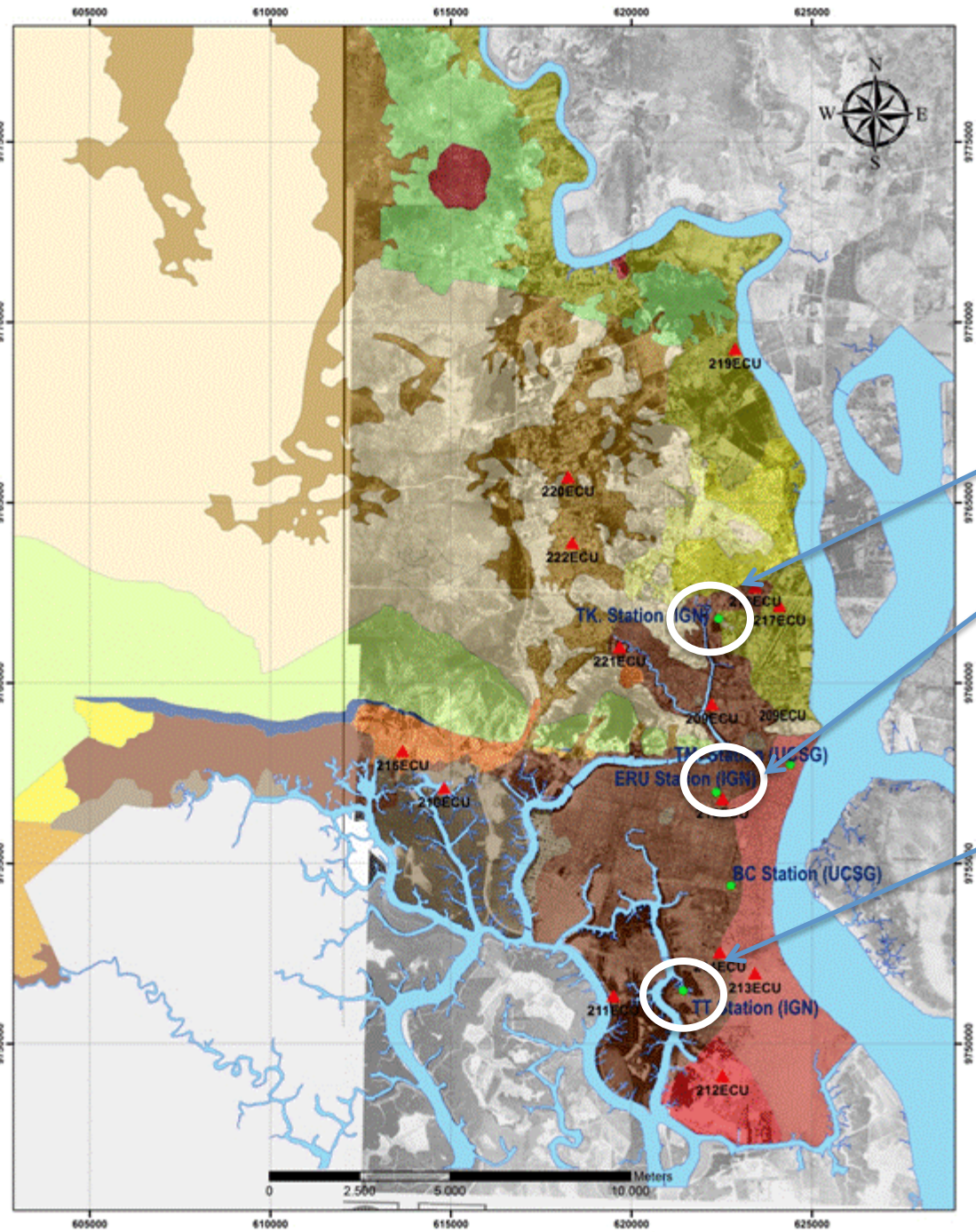
CH

NO ROCA IGNEA (PIÑON)
Estación Pascuales

Input Rock Motion @ 150m

Principales factores que influyen en los efectos locales del sitio (Romo et al., 2000)

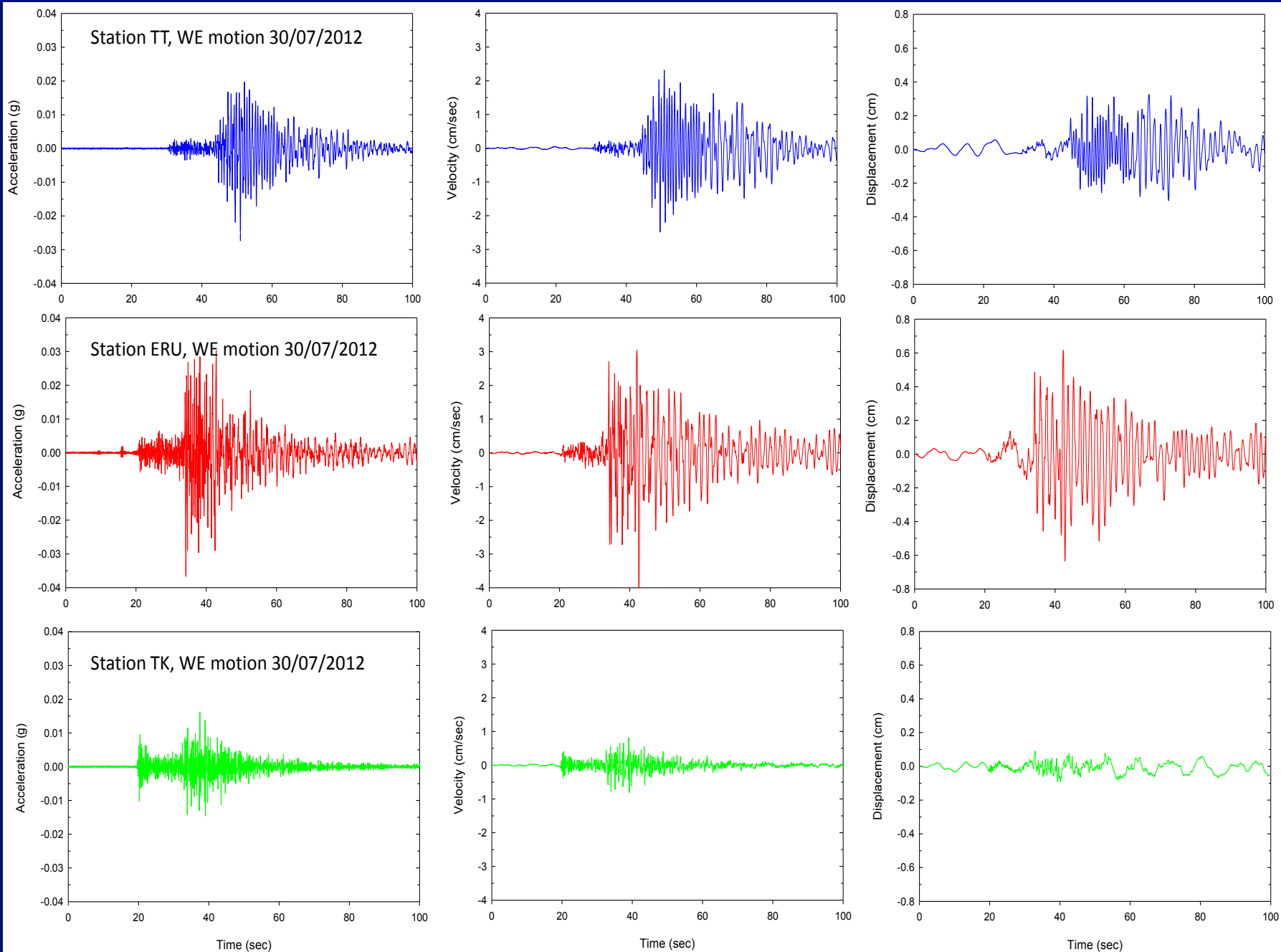
Sismológicos	<ul style="list-style-type: none">• Intensidad y contenido de frecuencias de los movimientos sísmicos de roca basal• Duración de los movimientos en roca basal
Geológicos	<ul style="list-style-type: none">• Estructuras geológicas locales• Tipo de roca subyacente• Características estratigráficas: espesor de los depósitos y tipos de suelos
Geotécnicos	<ul style="list-style-type: none">• Características de vibración elástica de los depósitos de suelo• Comportamiento no lineal del suelo• Impedancia relativa entre la roca basal y los depósitos de suelo sobreyacentes
Geométricos	<ul style="list-style-type: none">• Depósitos de suelo estratificados no horizontales• Topografía de la interfaz suelo-roca basal• Configuración de la cuenca

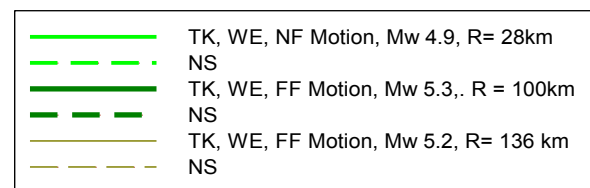
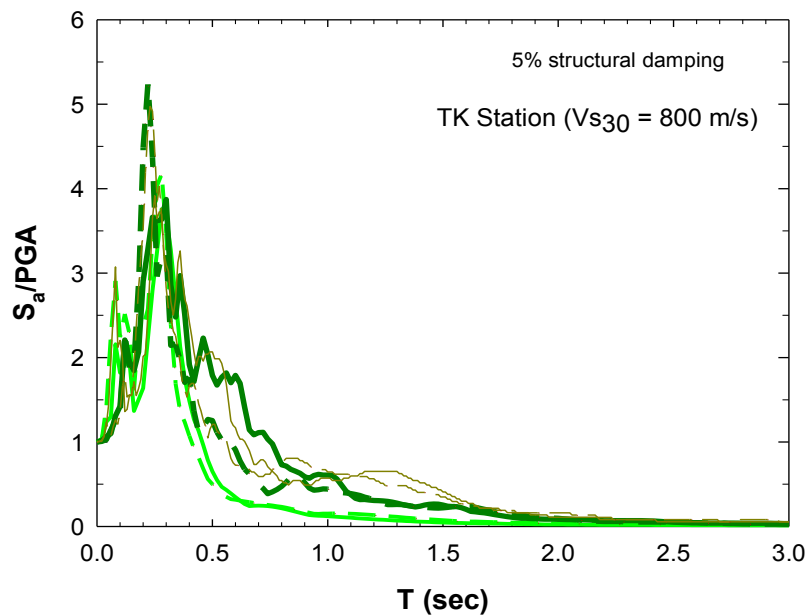
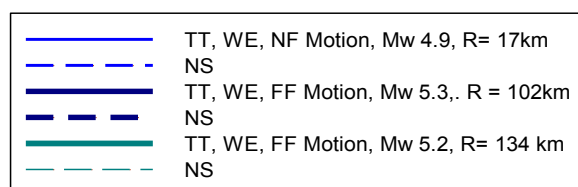
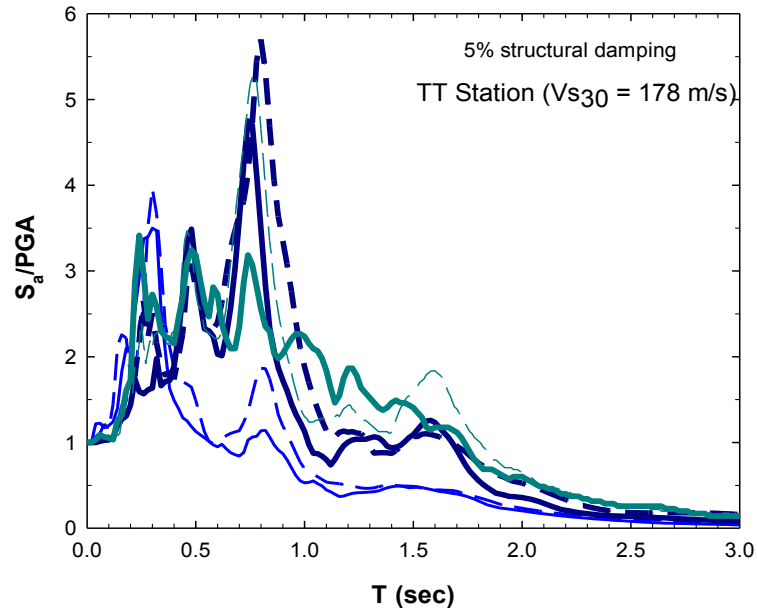
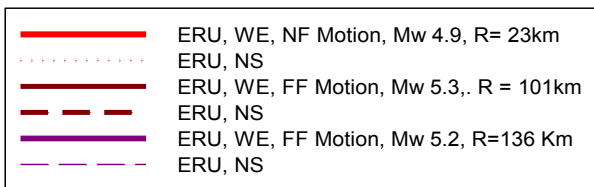
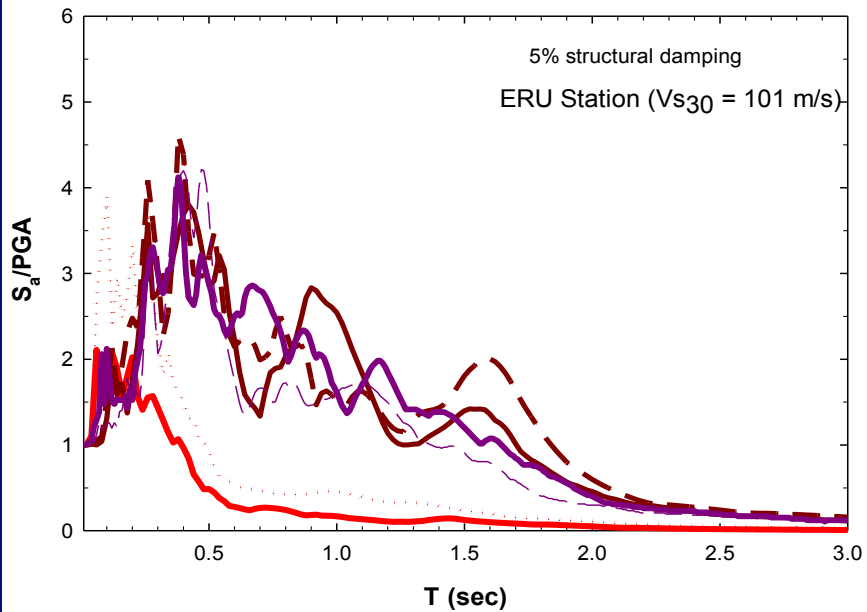


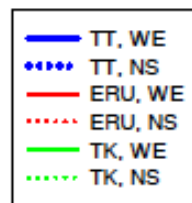
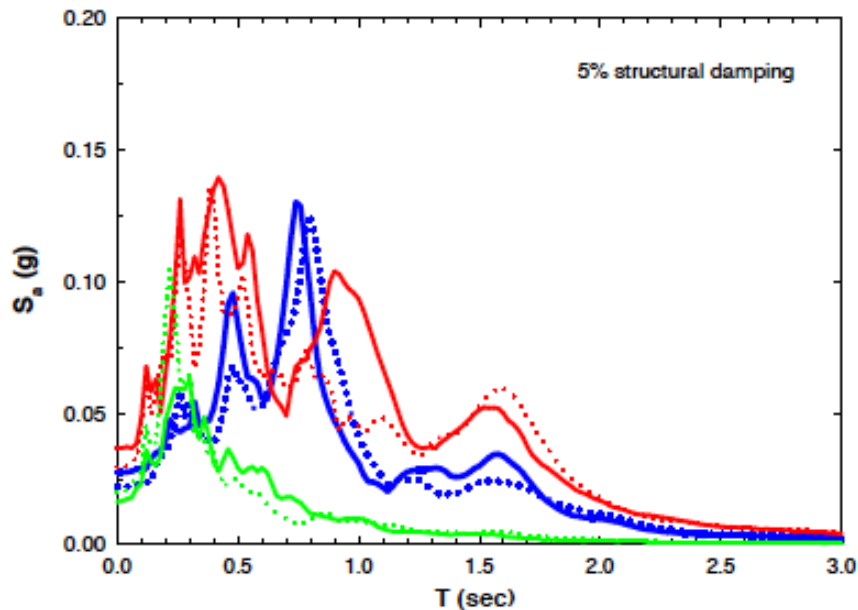
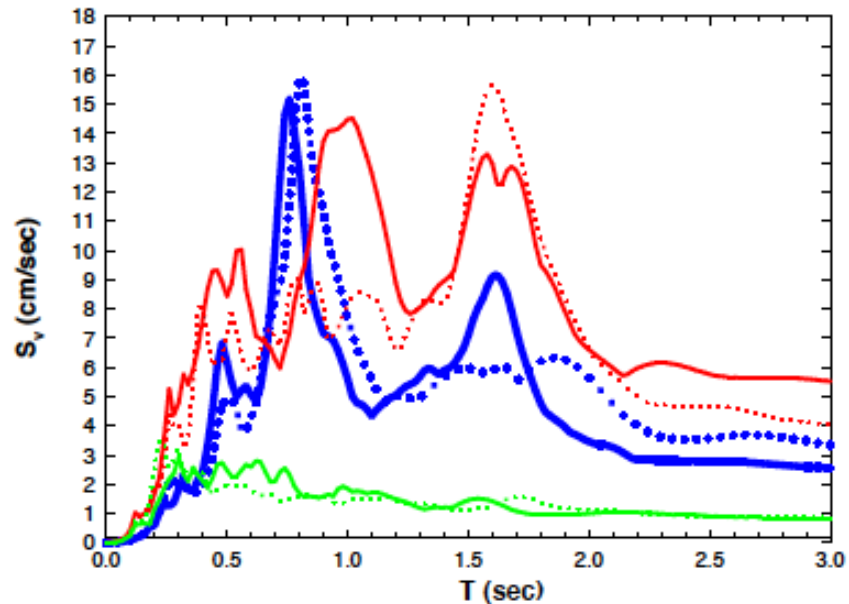
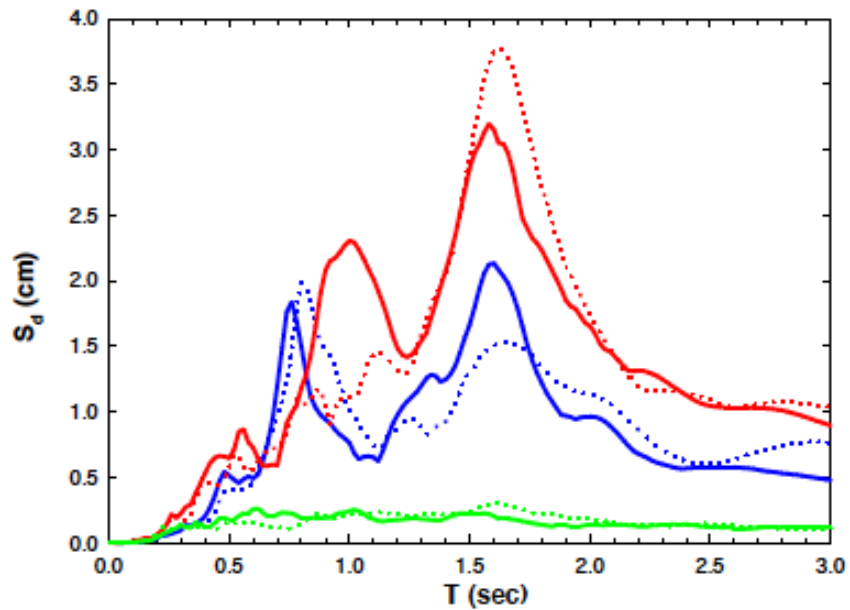
Tk station $V_{s30} = 800$ m/s
 Suelo tipo B (NEC-15)

ERU station $V_{s30} = 101$ m/s
 Suelo tipo F (NEC-15)

TT station $V_{s30} = 178$ m/s
 Suelo tipo F (NEC-15)

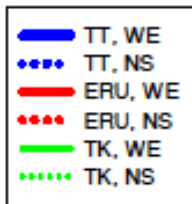
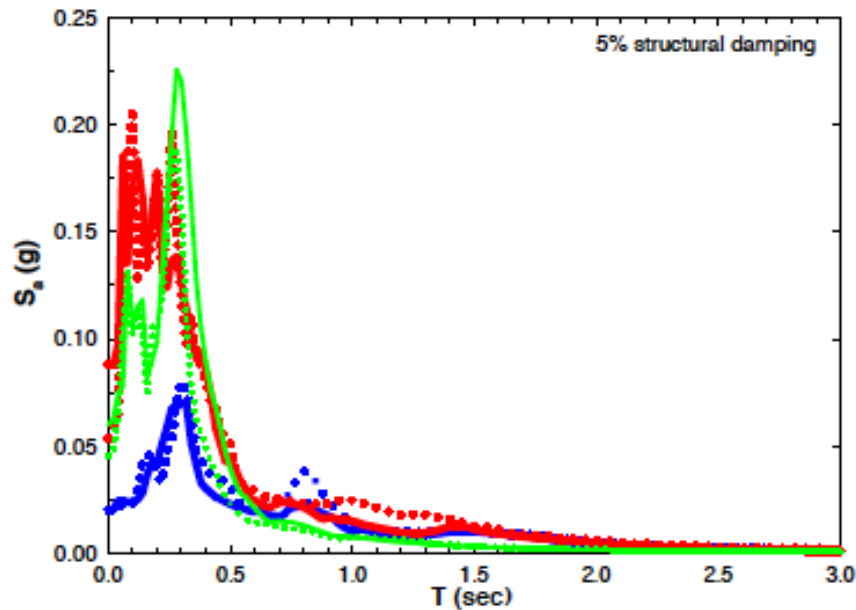
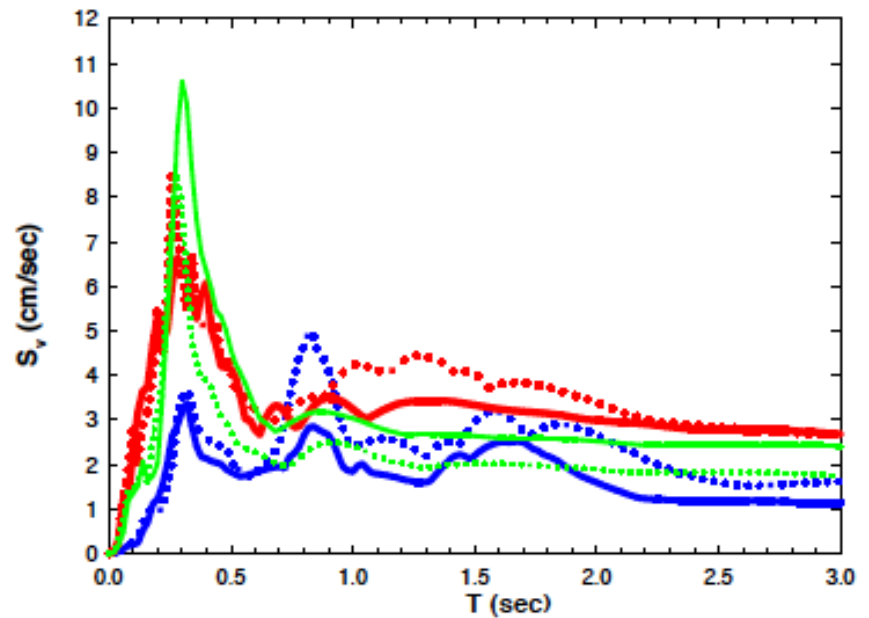
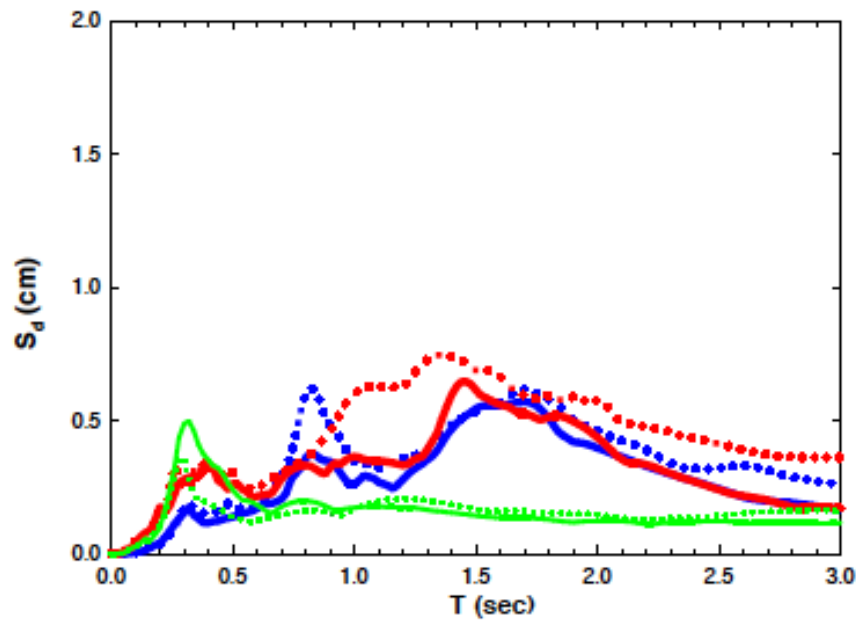






R = 101 Km
Mw = 5.2

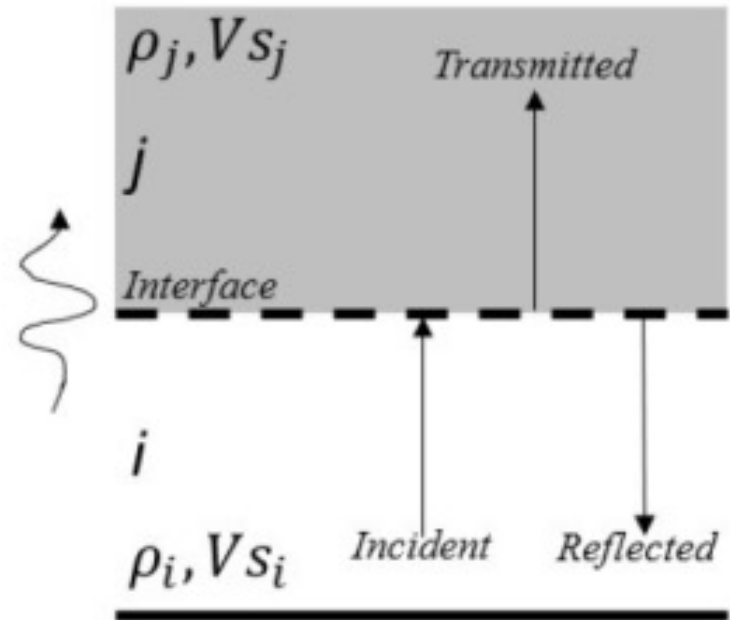
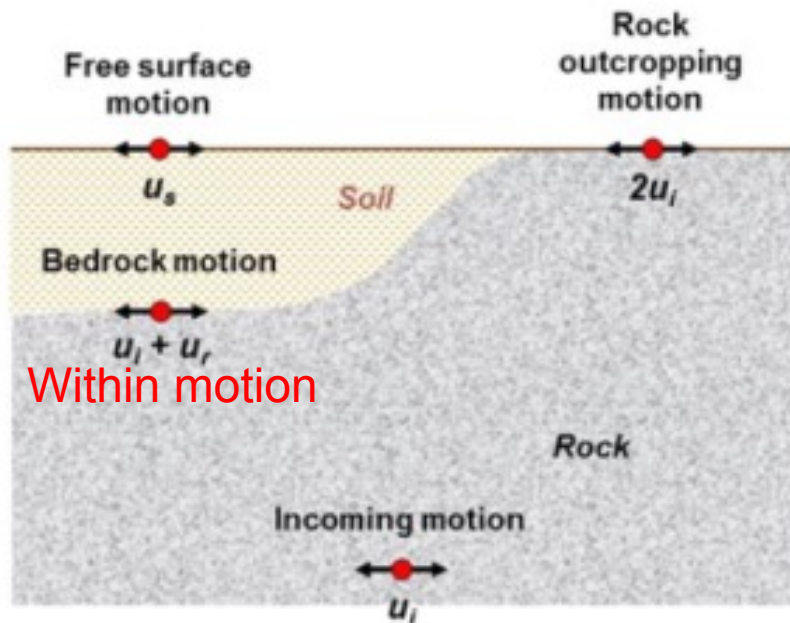
Figure 4.25 Acceleration, velocity and displacement response spectra for recorded subduction ground motion event (FF) from July 30, 2012, at IGN's stations; TT, ERU and TK



$R = 23 \text{ Km}$
 $M_w = 4.9$

Figure 4.26 Acceleration, velocity and displacement response spectra for recorded crustal ground motion event (NF) from October 28, 2012, at IGN's stations; TT, ERU and TK

Relación de impedancia y deconvolución



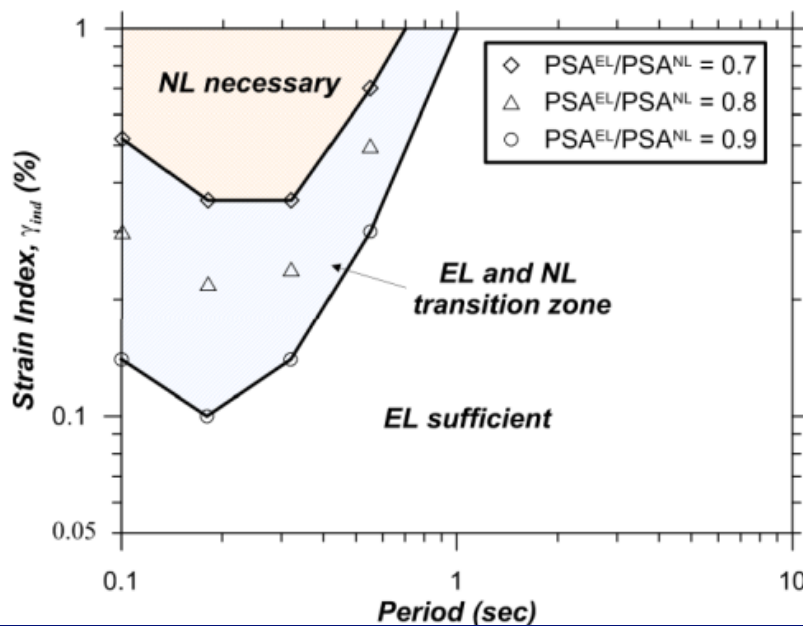
Within motion (rock) = f (α_z , Msuelo, Tsuelo)

$$\alpha_z = \frac{\rho_j V_{Sj}}{\rho_l V_{Sl}}$$

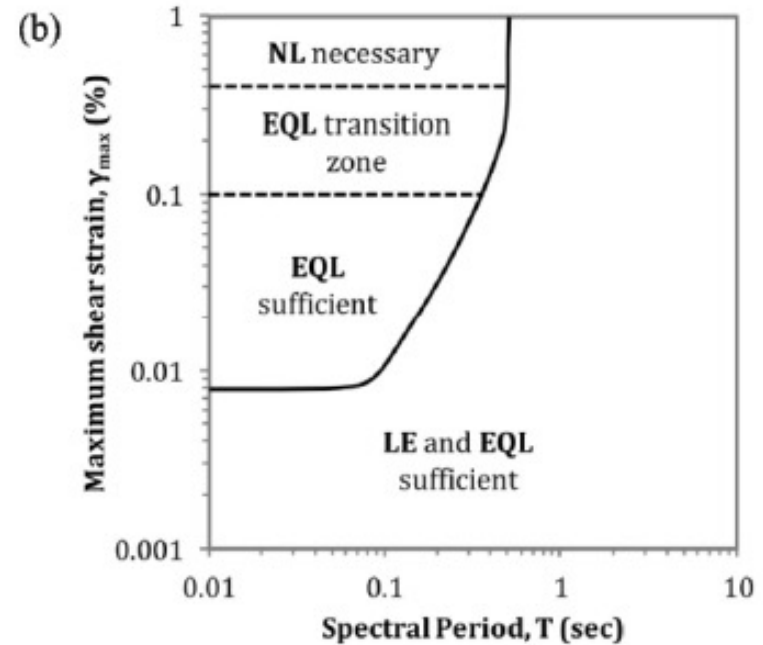
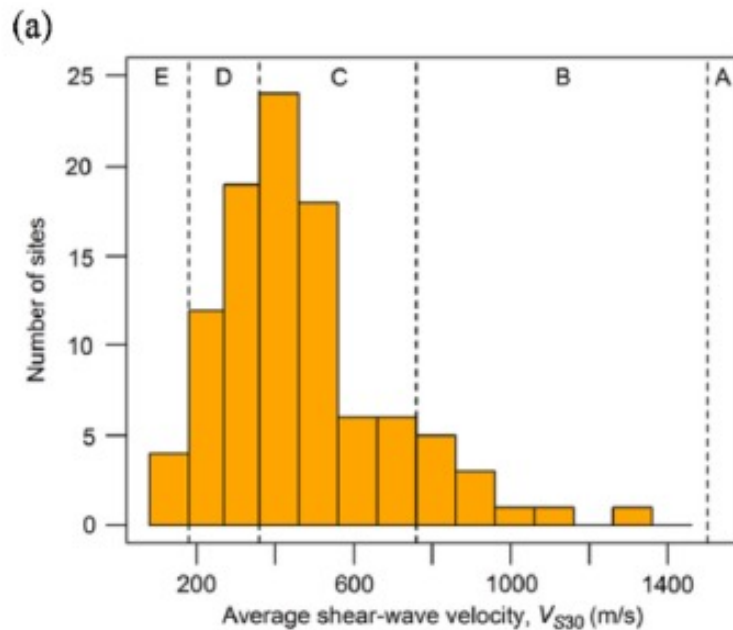
Cuando usar análisis Lineales Equivalentes Vs Nolineales

Kim et al (2013)

$$\gamma_{ind} = \frac{PGV^r}{V_{S30}}$$

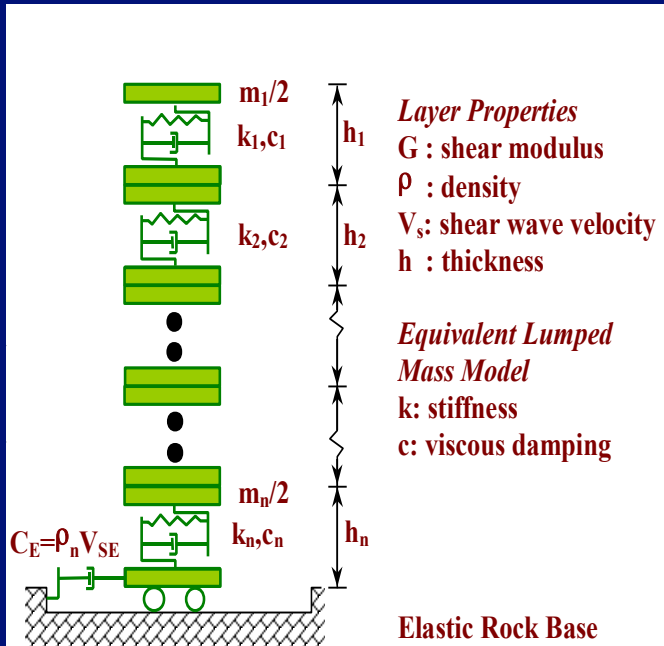


Kaklamanos et al (2013)



Métodos de análisis de respuesta de sitio 1D-vertical

Modelo de masas distribuidas, NL

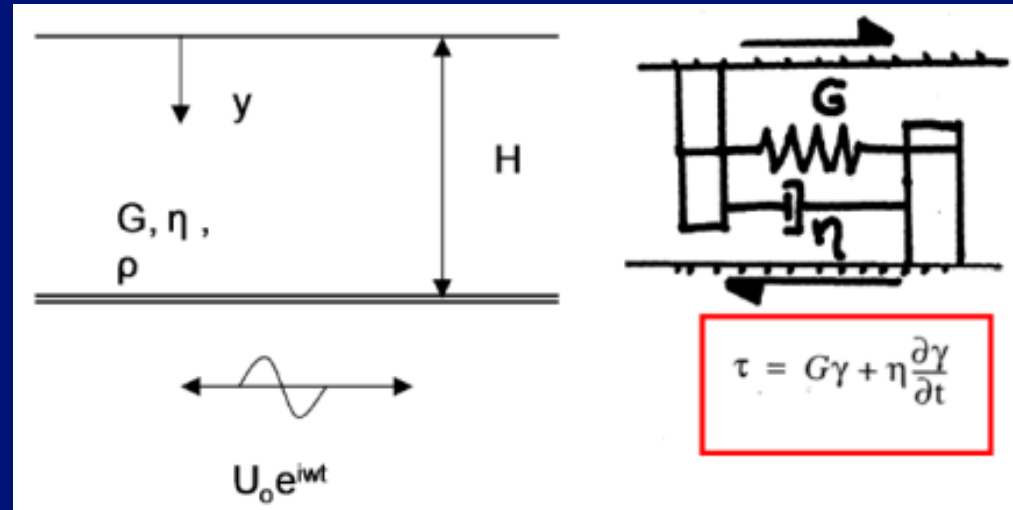


Multi-degree of freedom
lumped parameter model

$$[M] \{\ddot{u}\} + [K] \{u\} + [C] \{\dot{u}\} = -[M] \{I\} \ddot{u}_g$$

$$[C] = \alpha_R [M] + \beta_R [K]$$

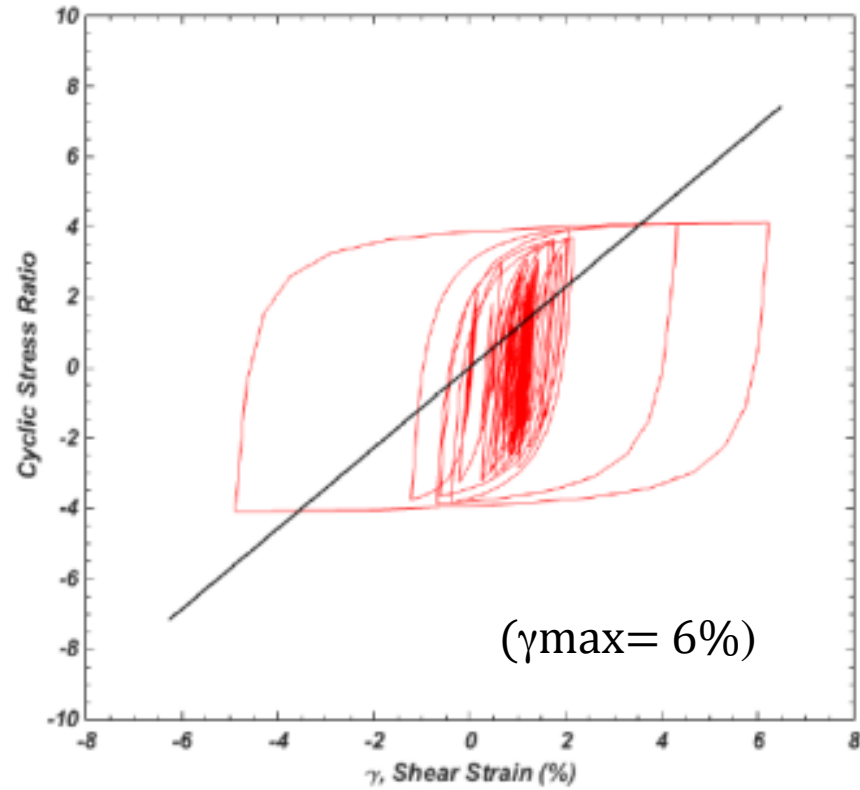
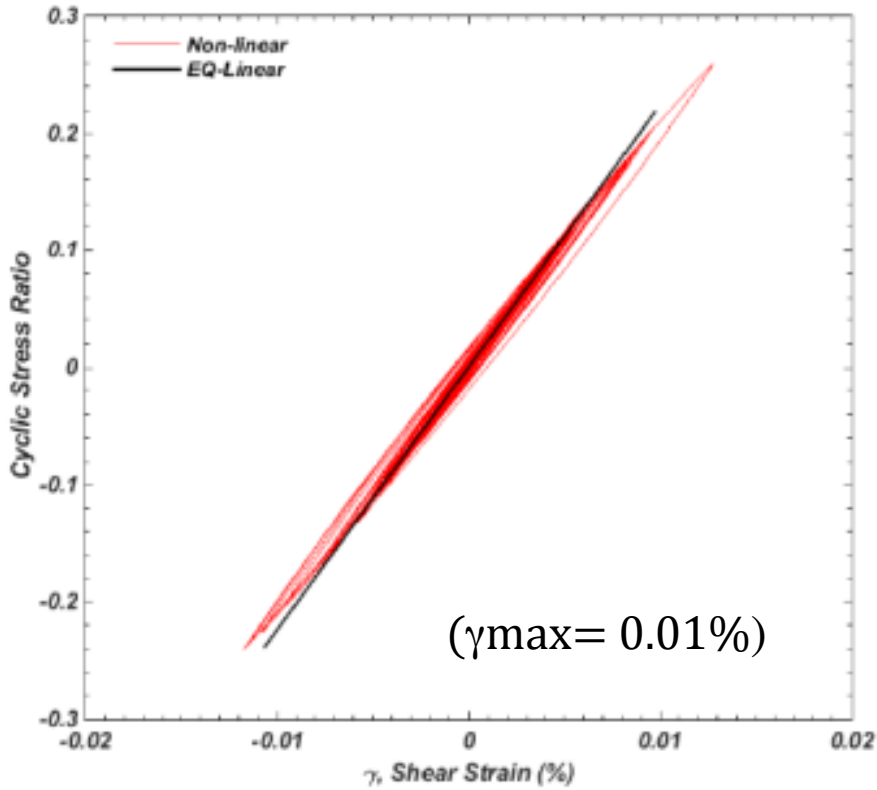
Modelo de propagación de ondas, LE



Mov. Armonico Est. Estable

$$\rho \frac{\partial^2 u}{\partial t^2} = G \frac{\partial^2 u}{\partial z^2} + \eta \frac{\partial^3 u}{\partial z^2 \partial t}$$

$$f_{max,i} = \frac{V_{s,i}}{4H_i} ; \quad T_{min} = \frac{1}{f_{max}}$$



2004 M_w 6.0 Parkfield Earthquake (PGA = 0.07g)

Igual sismo pero escalado
para PGA = 1.0g

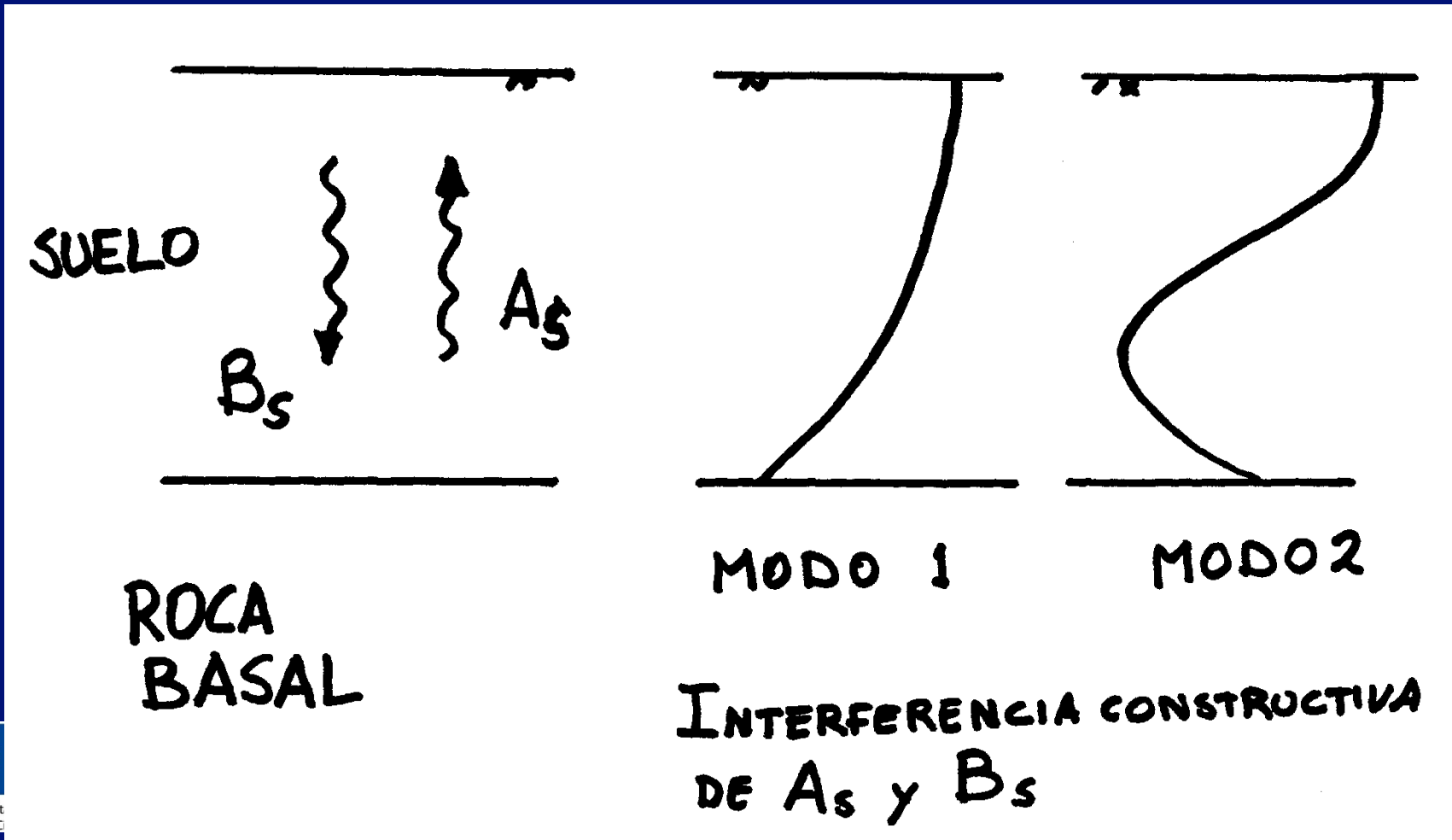
(Hutabarat, 2016)

Respuesta de un Perfil de Suelo a Ondas Sísmicas: Modelo Matemático

- Tres factores modifican ondas sísmicas propagándose de roca basal a la superficie:
 - Resonancia
 - Conservación de energía
 - Al pasar de un material más rígido a uno menos rígido la amplitud de onda aumenta
 - Amortiguamiento del suelo atenúa las ondas sísmicas
 - Amortiguamiento en suelos es mucho mayor al amortiguamiento en rocas

Respuesta de un Perfil de Suelo a Ondas Sísmicas: Resonancia

- ¿Por qué hay amplificación?

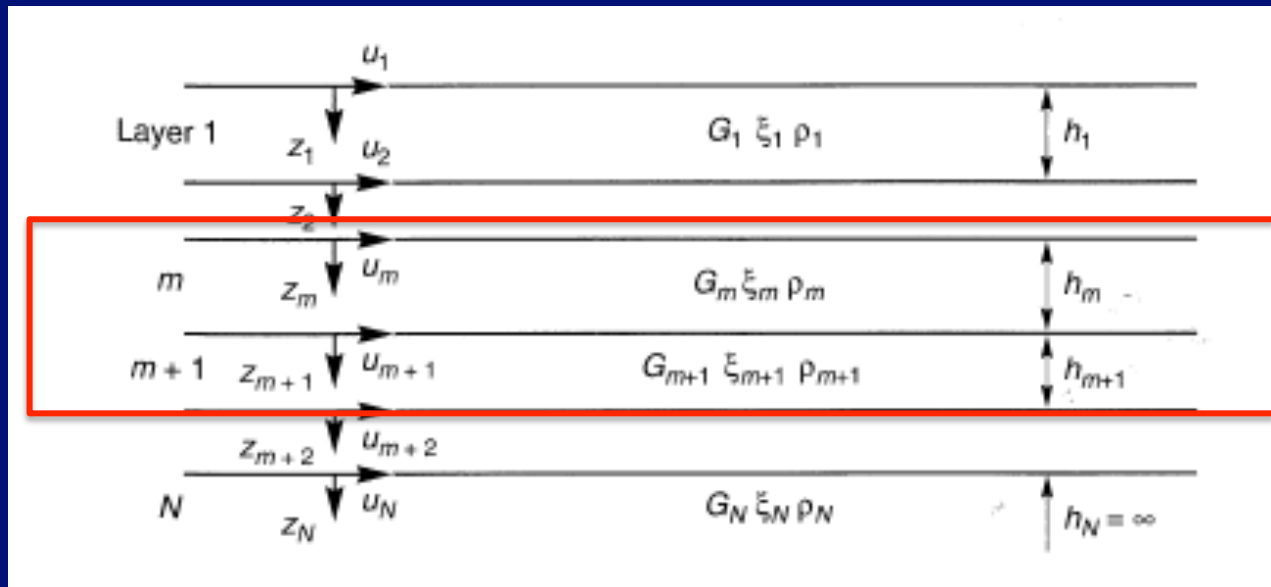


Anàlisi LINEAL EQUIVALENTE – SHAKE 2000

$$\rho \frac{\partial^2 u}{\partial t^2} = G \frac{\partial^2 u}{\partial z^2} + \eta \frac{\partial^3 u}{\partial z^2 \partial t}$$

$$G^* = G + i\omega\eta$$

$$\eta = \frac{2G}{\omega} \xi$$



Desplaz. horizontal

$$u_m(z_m = h_m, t) = (A_m e^{ik_m^* h_m} + B_m e^{-ik_m^* h_m}) e^{i\omega t}$$

Amplitud de ondas en capa m

$$k^* = \frac{\omega}{v_s^*}$$

$$v_s^* = \sqrt{\frac{G^*}{\rho}} = \sqrt{\frac{G(1 + i2\xi)}{\rho}} \approx \sqrt{\frac{G}{\rho}} (1 + i\xi)$$

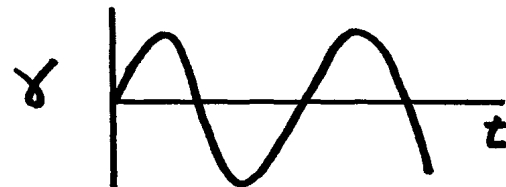
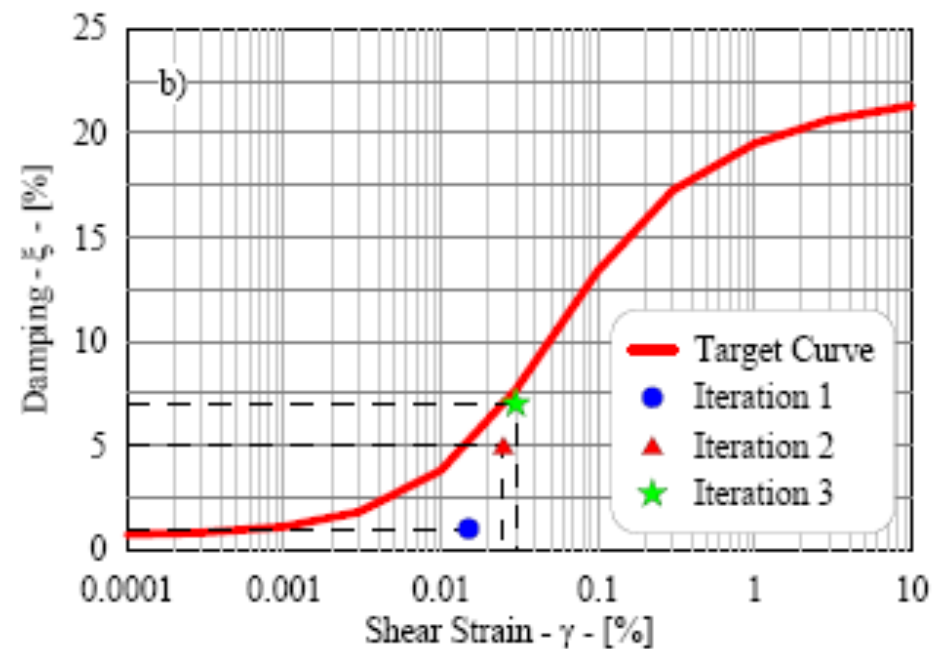
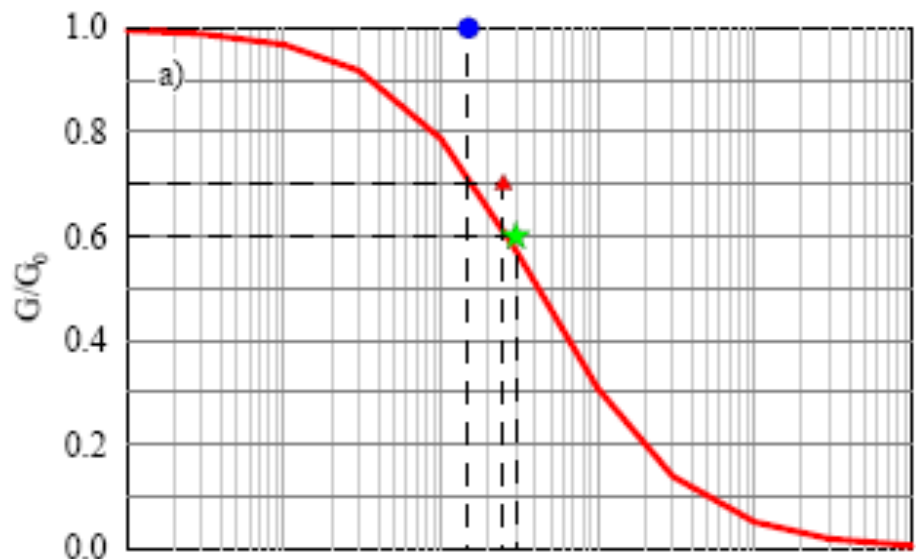
$$A_{m+1} = \frac{1}{2} A_m (1 + \alpha_m^*) e^{ik_m^* h_m} + \frac{1}{2} B_m (1 - \alpha_m^*) e^{-ik_m^* h_m}$$

$$B_{m+1} = \frac{1}{2} A_m (1 - \alpha_m^*) e^{ik_m^* h_m} + \frac{1}{2} B_m (1 + \alpha_m^*) e^{-ik_m^* h_m}$$

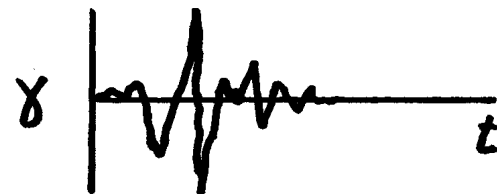
La propagación de la energía de la Onda de una capa m a m+1 es controlada por la relación impedancia Compleja:

$$\alpha_m^* = \frac{k_m^* G_m^*}{k_{m+1}^* G_{m+1}^*} = \frac{\rho_m (v_s^*)_m}{\rho_{m+1} (v_s^*)_{m+1}}$$

Amplitud de ondas en capa m+1



$$\gamma_{ef} = \gamma_{max}$$



$$\gamma_{ef} = R \gamma_{max}$$

Respuesta de un Perfil de Suelo a Ondas Sísmicas: Metodología

Aceleraciones en roca en el dominio del tiempo

$$a_R(t)$$

↓ Transformada de Fourier

Aceleraciones en roca en el dominio de la frecuencia

$$A_R(f)$$

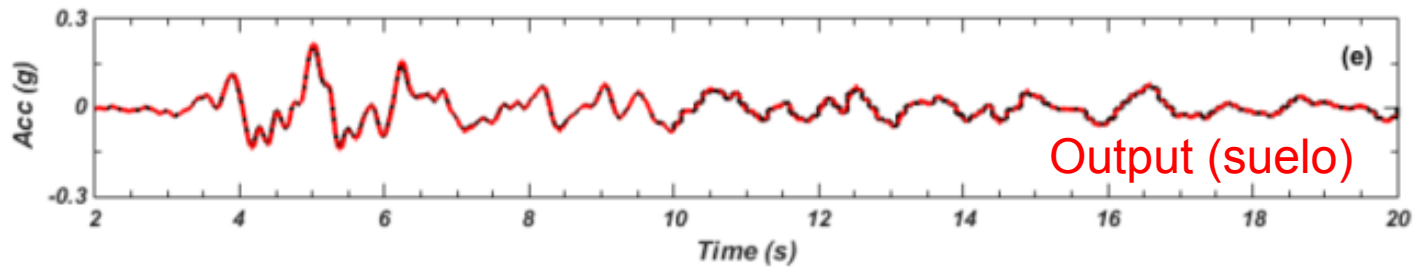
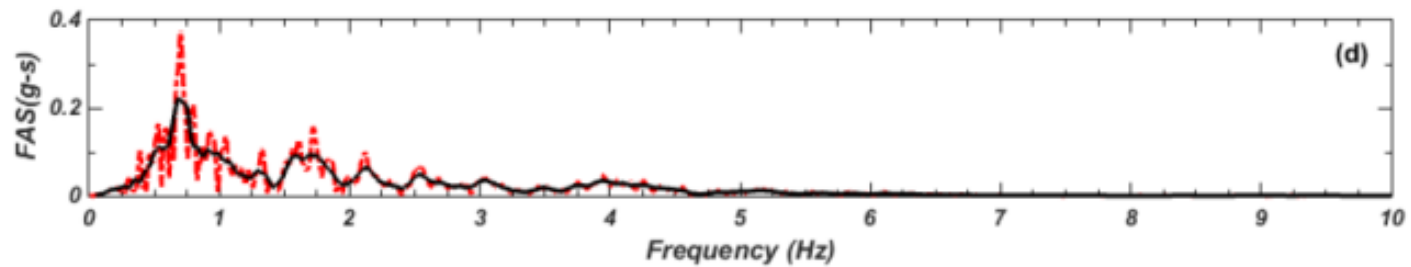
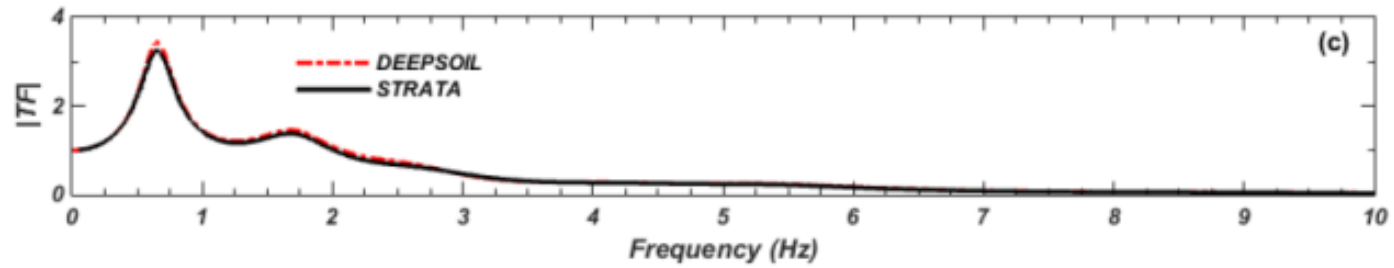
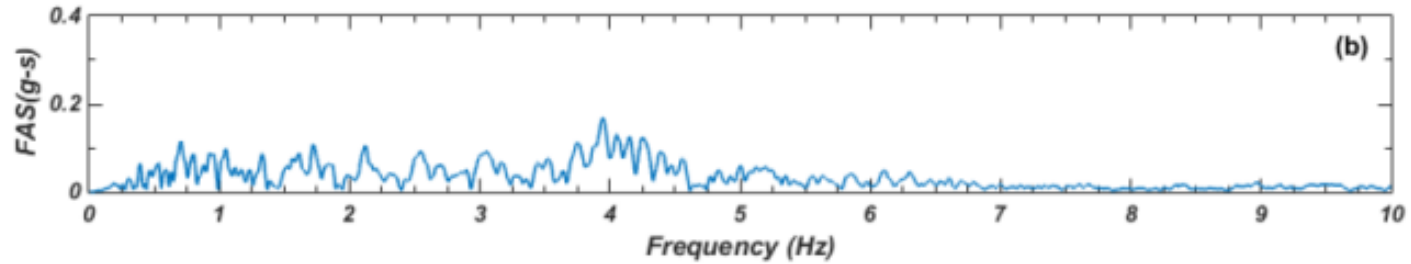
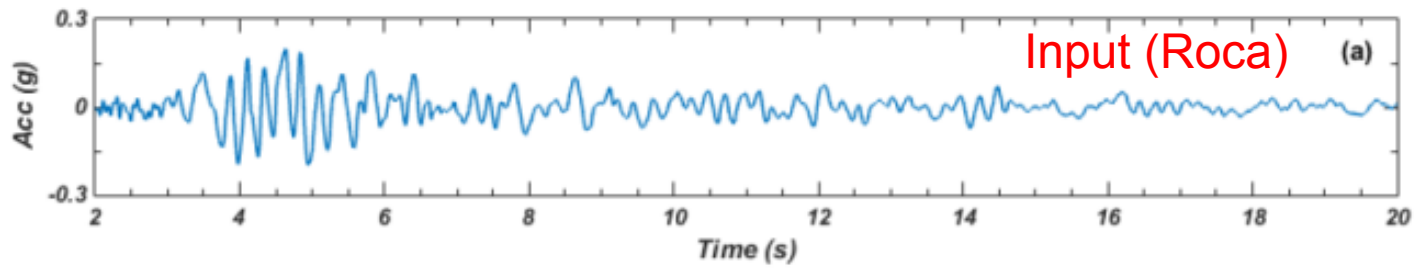
↓
Obtener una función de transferencia $|F|$ (Función de las propiedades del perfil de suelos)

$$A_S(f) = |F|A_R(f)$$

↓
Aceleraciones en suelo en el dominio de la frecuencia $A_S(f)$

↓ Transformada inversa de Fourier

↓
Aceleración en suelo en el dominio del tiempo $a_s(t)$



Respuesta de un Perfil de Suelo a Ondas Sísmicas

- Ejemplo 1:

Suelo elástico sobre roca rígida (no amortiguamiento)

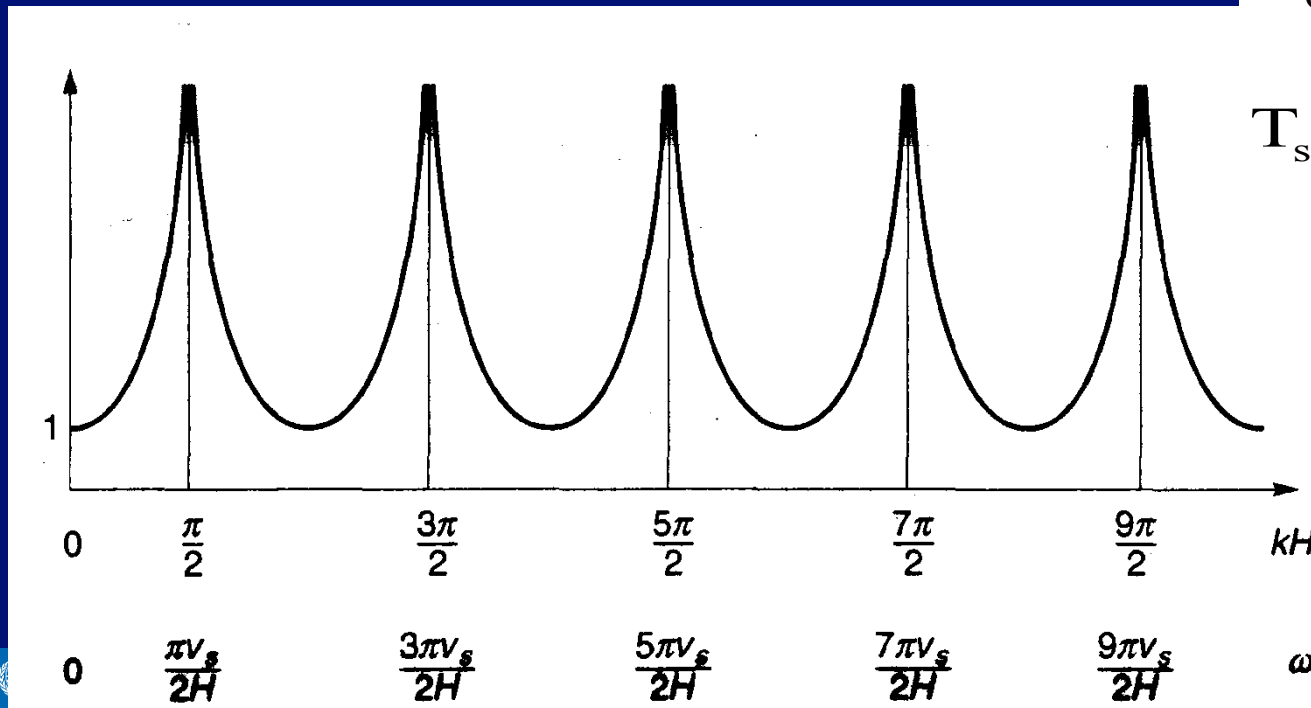
$$|F(\omega)| = \frac{1}{\cos \omega \frac{H}{V_s}}$$

$$\frac{\omega_0 H}{V_s} = \frac{\pi}{2}$$

$$\omega_0 = \frac{\pi V_s}{2H}$$

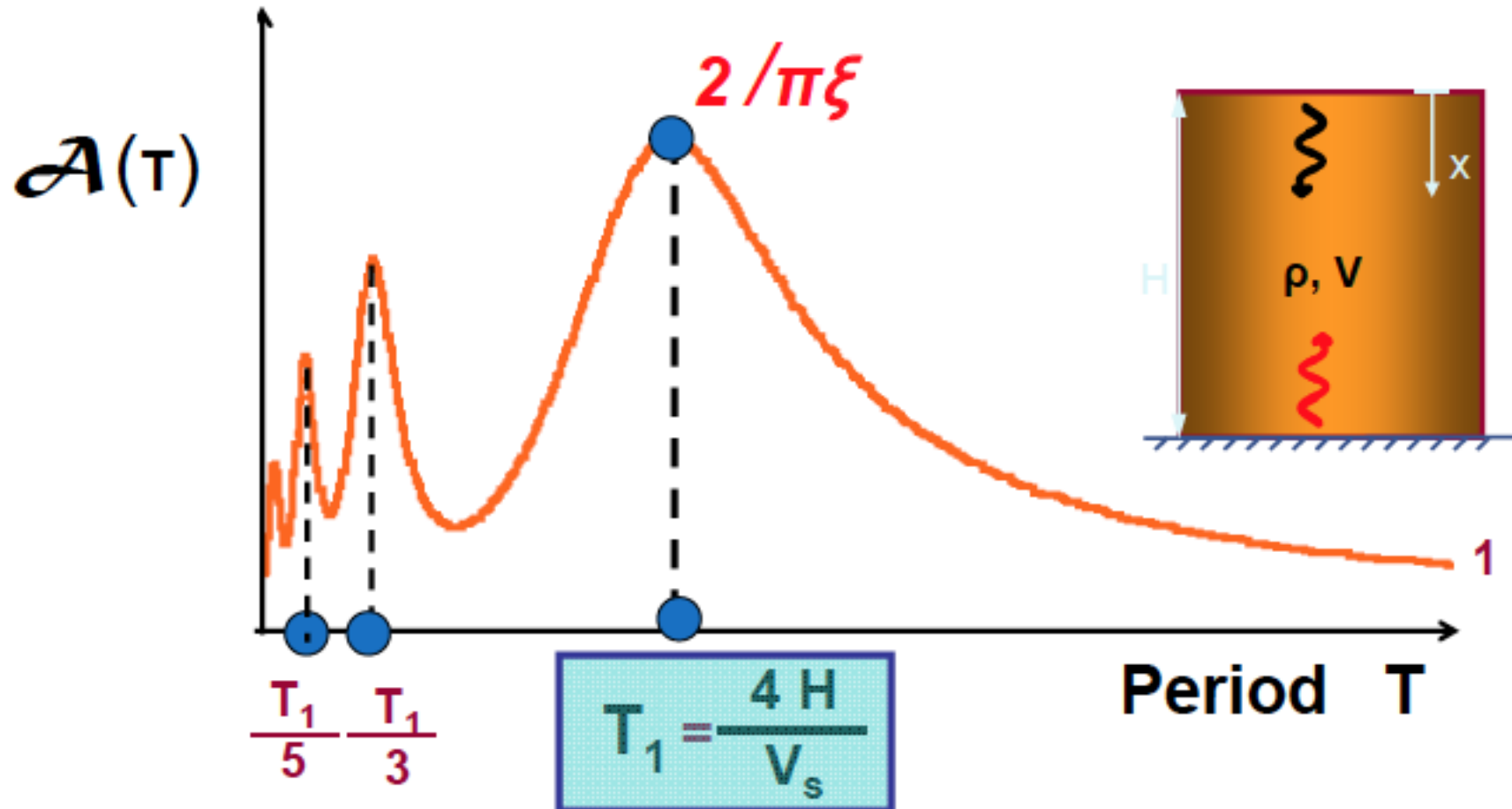
$$T_s = \frac{2\pi}{\omega_0} = \frac{4H}{V_s}$$

$F_1(\omega)$



"SOIL AMPLIFICATION"

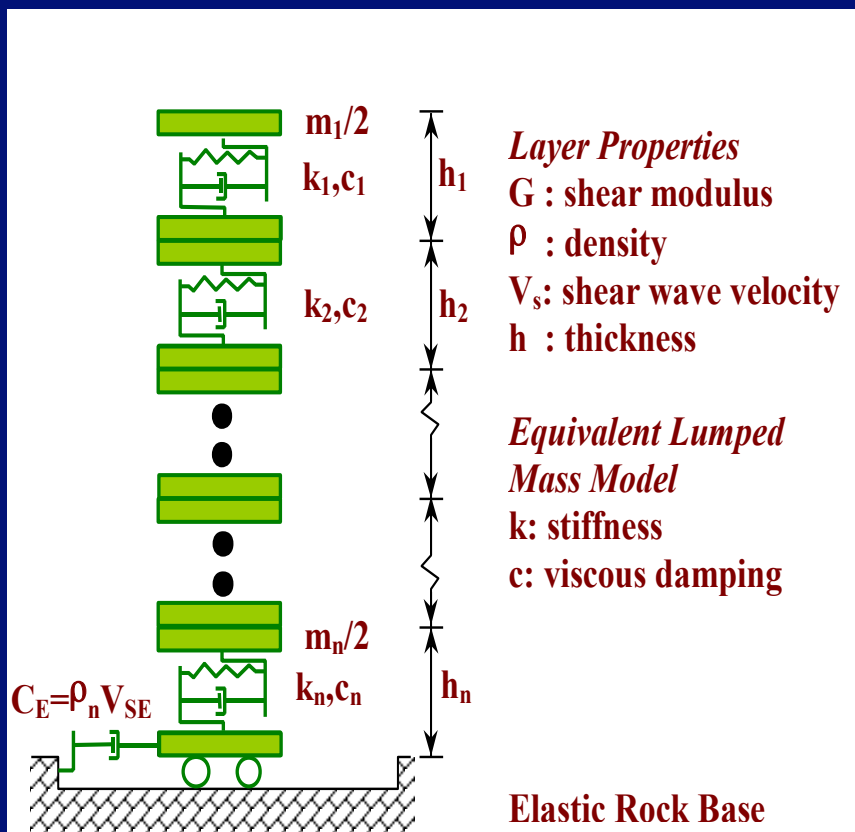
Harmonic Excitation



Modelos numéricos de respuesta Nolineal

Codes	ID	Computational Method	Viscous Damping Matrix, [C]	Nonlinear Soil Model		Reference for Soil Model	Reference for Computer Code
				Backbone Curve	Hysteretic Damping		
D-MOD2000	DMOD2000	1D time integration (Newmark β) solving dynamic equation (Lumped Mass system)	Full Rayleigh Damping ¹	Modified Kondner & Zelasko (MKZ)	Extended Masing Rules (Vucetic, 1990)	Kondner & Zelasko (1963); Matasovic & Vucetic (1993)	Matasovic & Ordonez (2011)
DEEPSOIL	DS-MKZ		Frequency Independent (Hashash, 2009)	Extended MKZ	Non Masing Rules (MRDF) – Phillips & Hashash (2009)	Park & Hashash (2001)	Hashash et al (2015)
	DS-GQ/H		GQ/H	Groholski et al (2016)			
NERA	NERA	1D forward Finite Difference (FD) solving stress wave propagation using Central Difference algorithm.	N/A	IM Soil Model	Follow the behavior of unloading-reloading behavior similar to Masing (1926) rules.	Iwan (1967) ; Mroz (1967)	Bardet & Tobita (2001)
FLAC	FLAC	2D forward FD solving full dynamic equation. (Distributed Mass)	Full Rayleigh Damping	Sigmoidal (Sig3)		Itasca, 2011	Itasca, 2011
OPENSEES	OPENSEES	2D Finite Element Method (FEM) solving full dynamic equation. (Distributed Mass)		Pressure Independent Multi Yield surface (PIMY)		Yang (2000); Yang & Elgamal (2000)	McKenna & Fenves (2006)
FLIP	FLIP	2D Finite Element Method (FEM) solving full dynamic equation. (Distributed Mass)		Multi-Spring Model		Generalized Masing Rules (Ishihara et al, 1985)	Towhata & Ishihara (1985), Iai et al (1990), Iai et al (2011)

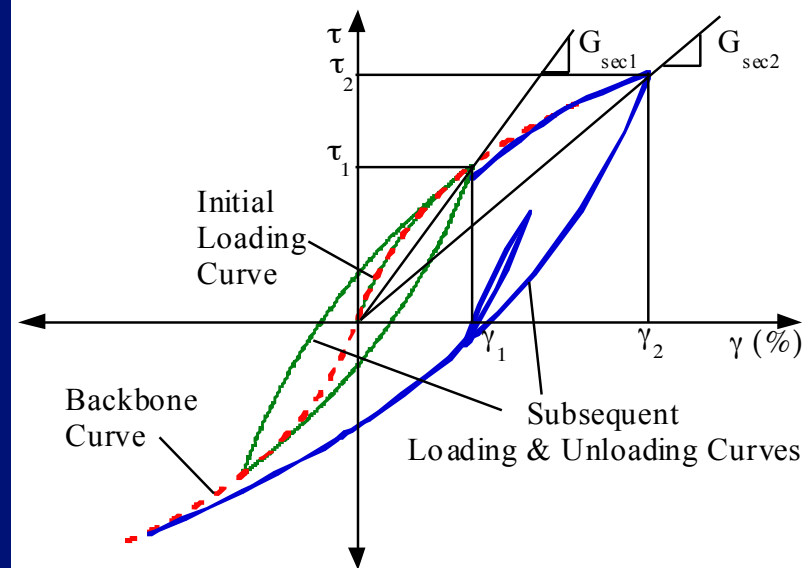
Anàlisi NO LINEAL – DMOD 2000



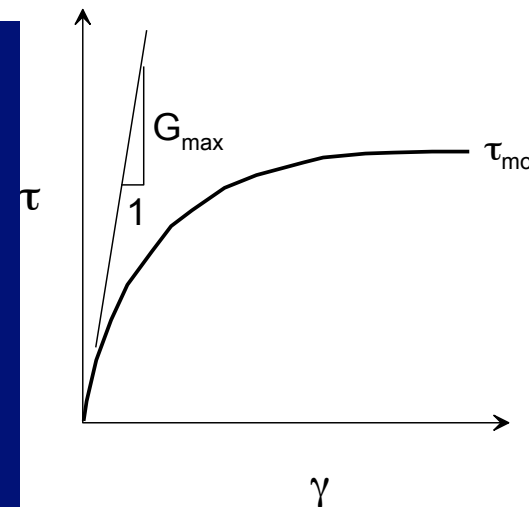
Multi-degree of freedom
lumped parameter model

$$[M] \{\ddot{u}\} + [K] \{u\} + [C] \{\dot{u}\} = -[M] \{I\} \ddot{u}_g$$

$$[C] = \alpha_R [M] + \beta_R [K]$$



$$\gamma_r = \tau_{mo} / G_{max}$$



$$\tau = \frac{G_{mo} \gamma}{1 + \beta \left(\frac{G_{mo}}{\tau_{mo}} \gamma \right)^s} = \frac{G_{mo} \gamma}{1 + \beta \left(\frac{\gamma}{\gamma_r} \right)^s}$$

Calibración modelo MKZ arcilla de GYE

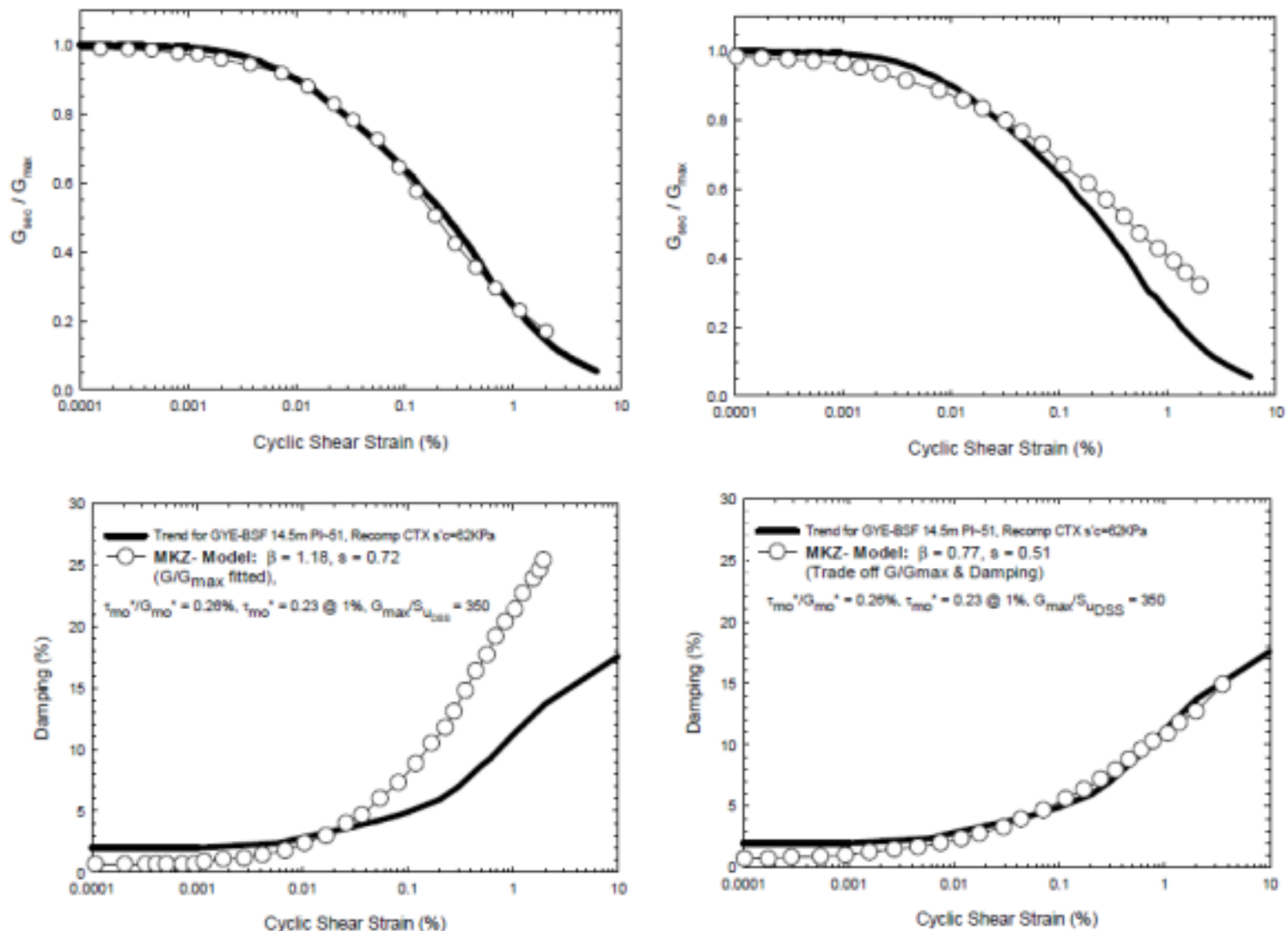
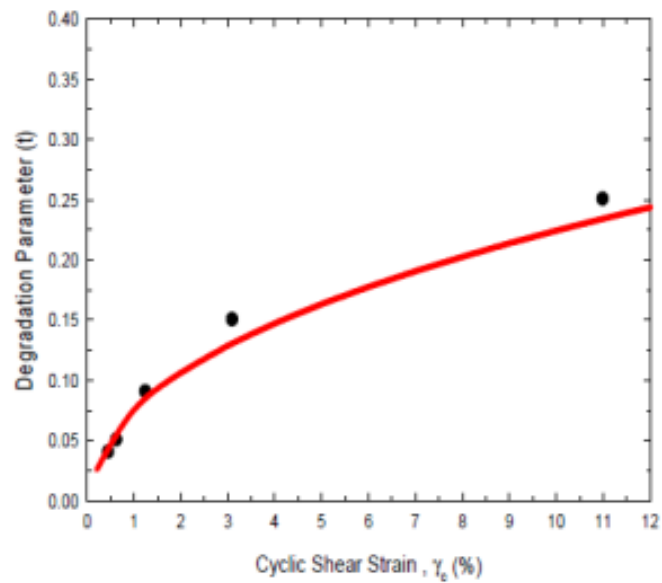


Figure 3.93 Calibration of the MKZ model with the modulus reduction and damping curve from cyclic test data



○ Data from Matasovic & Vucetic (1995), CH clays, $\gamma_w = 0.1\%$, OCR = 1, $\gamma_c = 0.2 - 5\%$
 ● GYE-TI, recompression, OCR* = 1.46 @ 7.35m CSS @ 0.001Hz, $\gamma_w = 0.12\%$, CH clay PI = 44 - 52, $\gamma_c = 2.0 - 2.8\%$
 — Matasovic & Vucetic (1995) model, for $\gamma_c = 2.2\%$ and $t = 0.10$

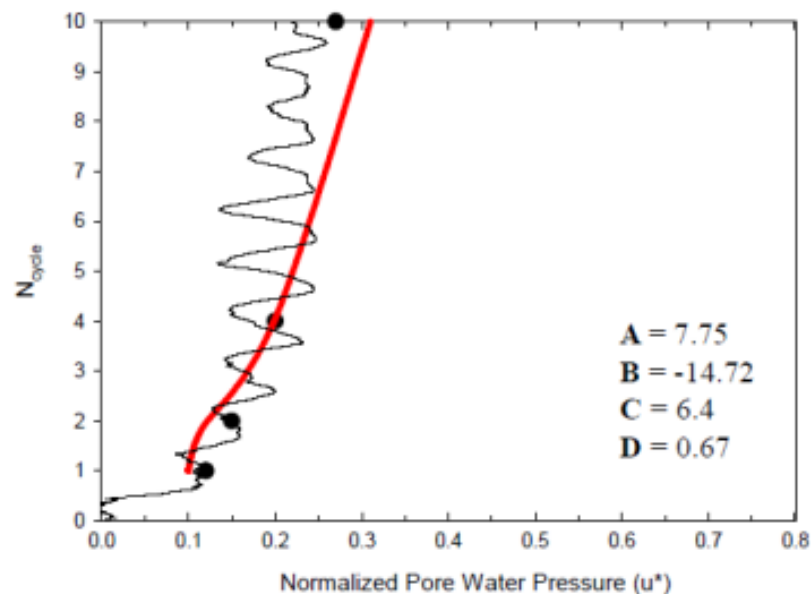
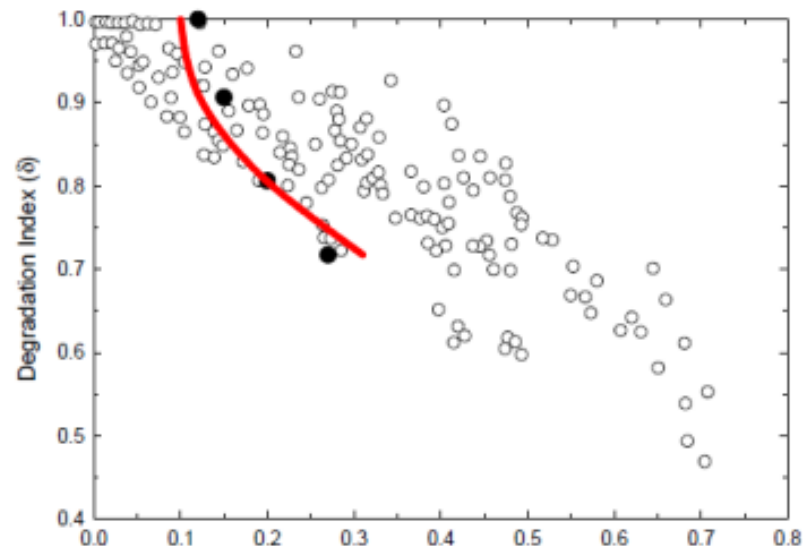


Figure 3.91 Calibration of pore-water pressure generation model constants for MKZ model for GYE-TI clay with a volumetric cyclic threshold shear strain of 0.12%

Modelo general cuadrático/hiperbólico (GQ/H)

- El modelo GQ/H (Groholski et al., 2015) permite definir la resistencia al corte del suelo al momento de la falla permitiendo representar la no linealidad del suelo en bajos niveles de deformación
- El comportamiento no lineal se controla mediante una función de ajuste de curva dependiente de la deformación unitaria de corte
- Implementado en el software Deepsoil (Hashash et al., 2016)

- Formulación:

$$\frac{\tau}{\tau_{max}} = \frac{2(\gamma/\gamma_r)}{1 + (\gamma/\gamma_r) + \sqrt{\{1 + (\gamma/\gamma_r)\}^2 - 4\theta_\tau(\gamma/\gamma_r)}}$$

Donde τ es el esfuerzo al corte, τ_{max} es la resistencia al momento de la falla, γ es la deformación unitaria al corte, γ_r es la deformación al corte de referencia, y θ_τ es el parámetros de ajuste de curvatura.

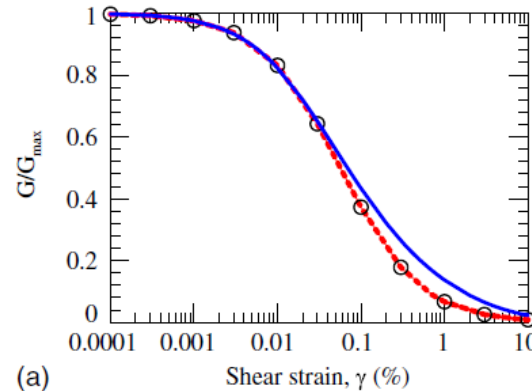
- Parámetros de ajuste de curvatura:

$$\theta_\tau = \theta_1 + \frac{\theta_2 \cdot \left(\frac{\gamma}{\gamma_r}\right)}{\theta_3 + \left(\frac{\gamma}{\gamma_r}\right)} \leq 1$$

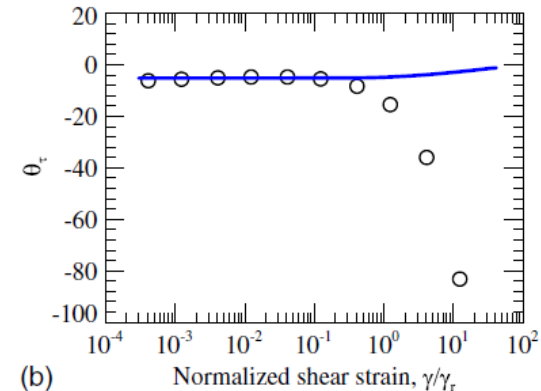
Modelo general cuadrático/hiperbólico (GQ/H)

• Curvas de degradación

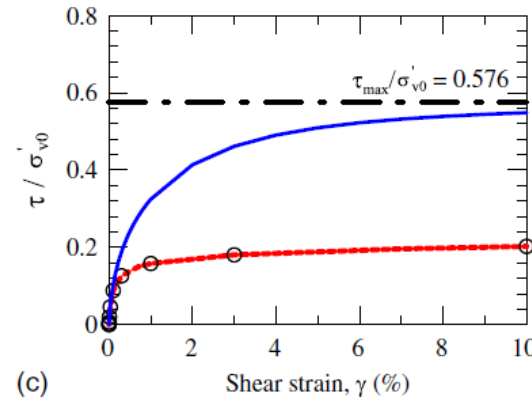
- Se define un valor del esfuerzo de corte (τ) a altas deformaciones
- Mejora el control de la curva de reducción del módulo, reduce la amplificación o degradación al tener un nivel de resistencia real



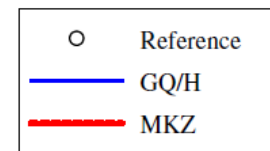
(a)



(b)



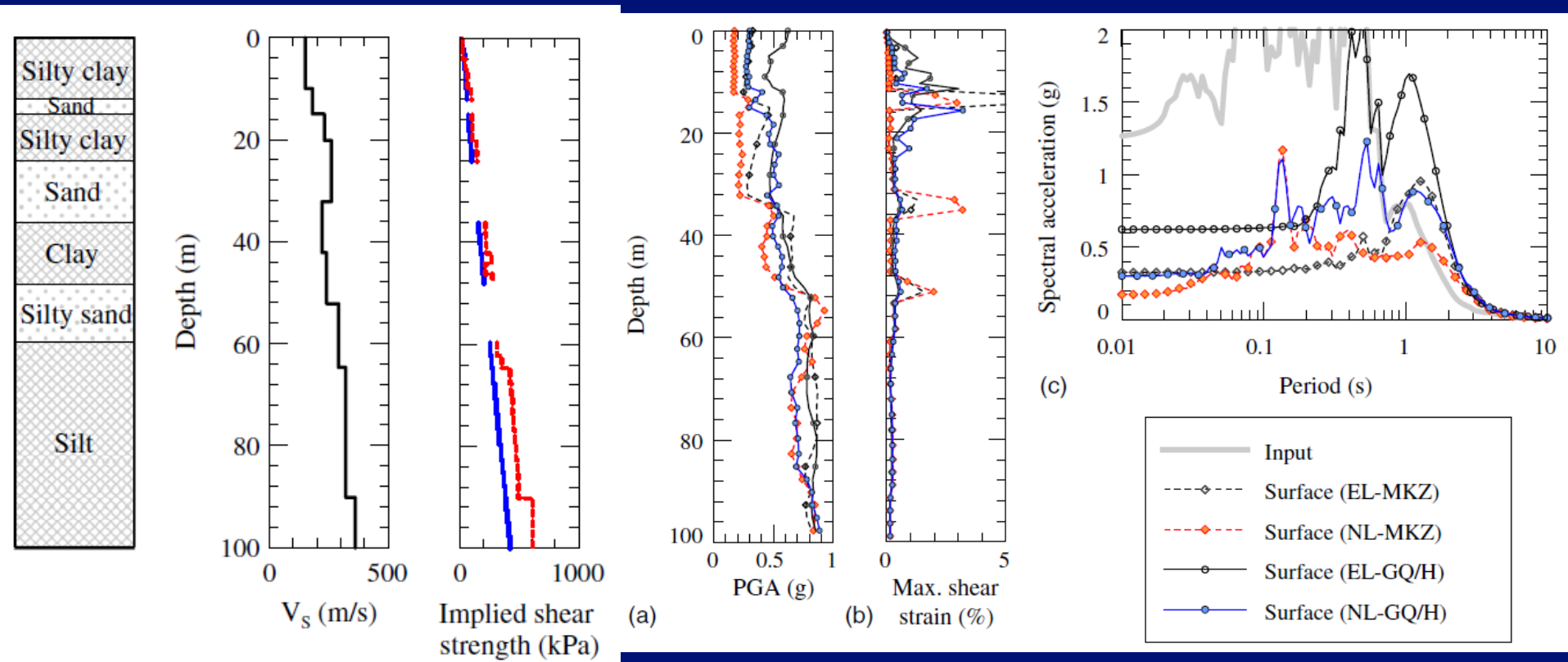
(c)



Groholski et al. (2015)

Modelo general cuadrático/hiperbolico (GQ/H)

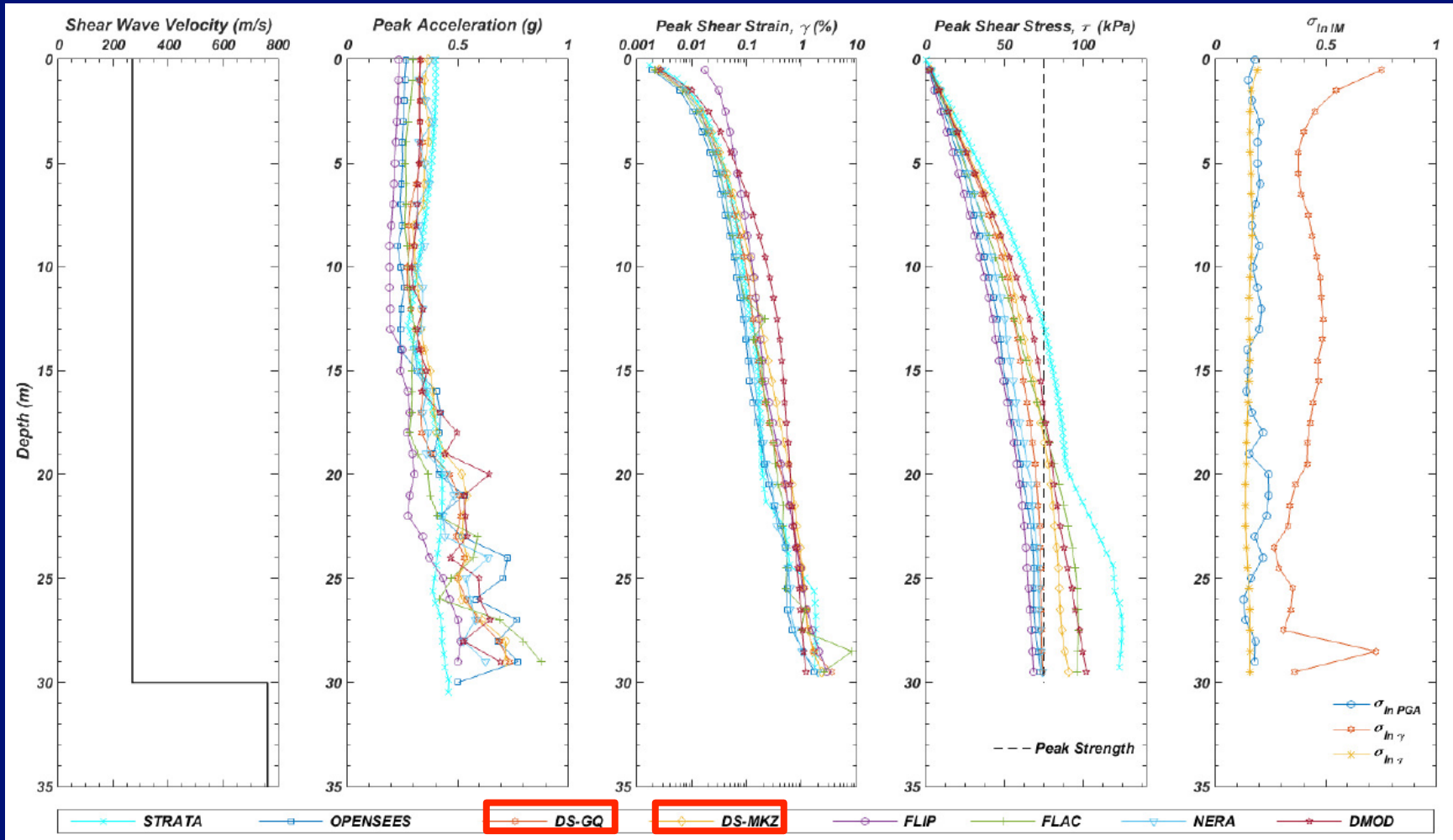
- Influencia en los análisis de respuesta de sitio – Groholski et al. (2015)



-----◇----- MKZ
 —————○————— GQ/H

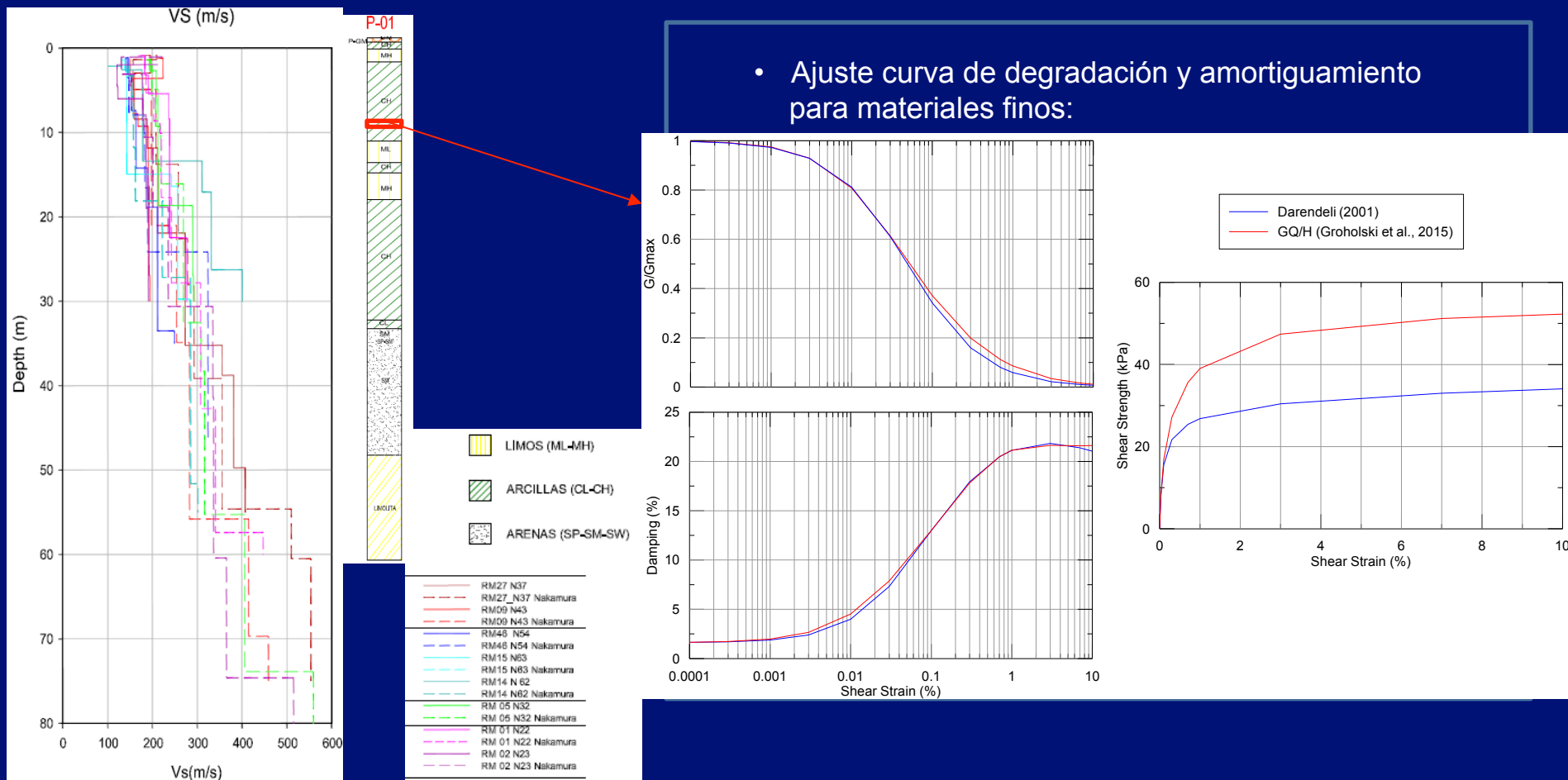
Modelo general cuadrático/hiperbolico (GQ/H)

- Influencia en los análisis de respuesta de sitio – Hutabarat (2016)



Modelo general cuadrático/hiperbolico (GQ/H)

- Influencia en los análisis de respuesta de sitio – Proyecto Microzonificación Sísmica de Esmeraldas



Parámetros dinámicos de suelos

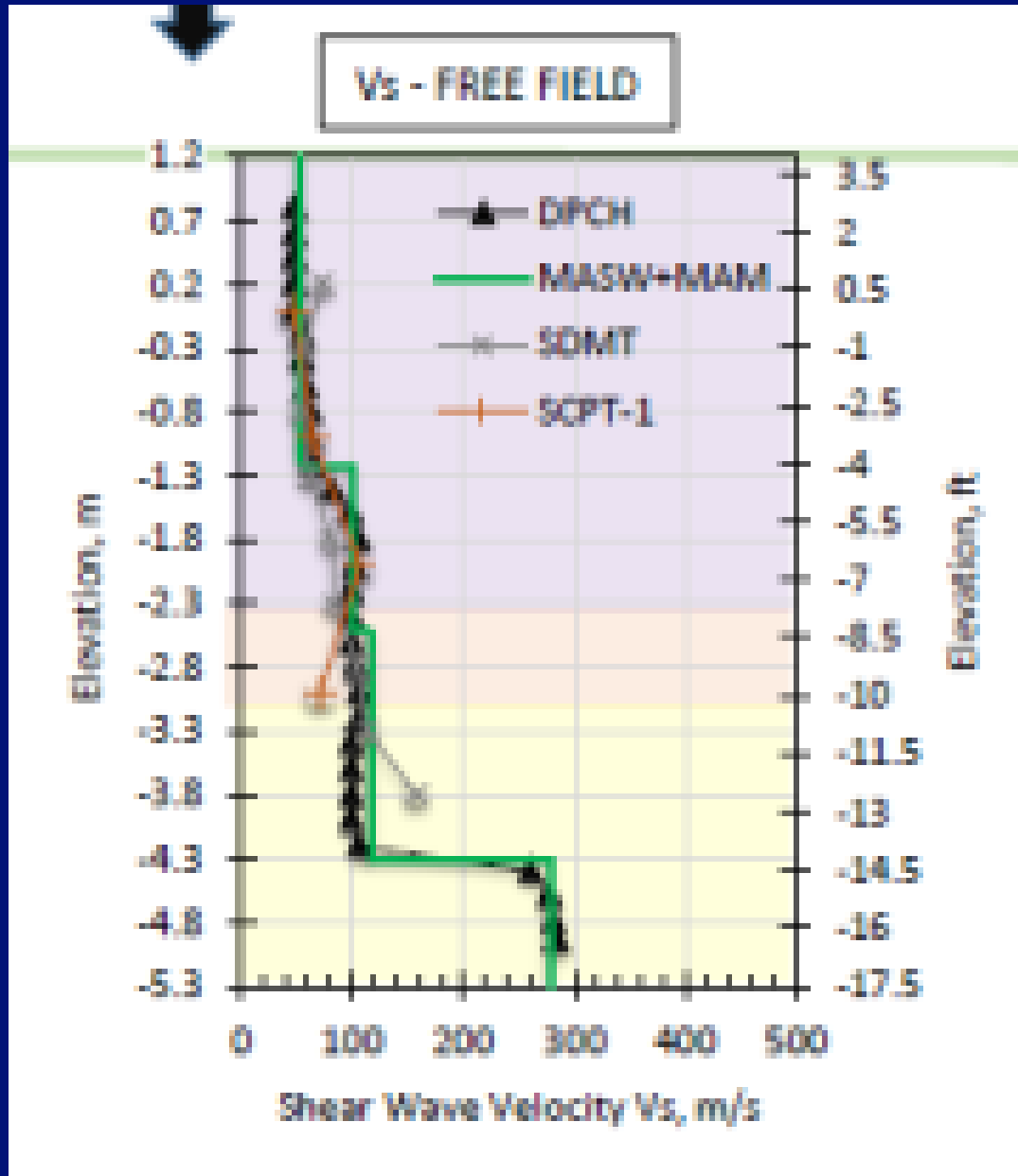
- ✓ Perfil de V_s en campo.

$$G_{\max} = \rho (V_s)^2, \rho = \gamma_t / g$$

- ✓ Curva, dependiente de la deformación, de reducción del modulo de corte normalizado (G/G_{\max} vs. γ)
- ✓ Curva, dependiente de la deformación, del amortiguamiento del material (λ vs. γ)
- ✓ Resistencia al corte (S_u or $\tan\phi'$)

Ref: Arroyo, J (2017)

Sitio donde se observó licuación,
Terrappen Briceño



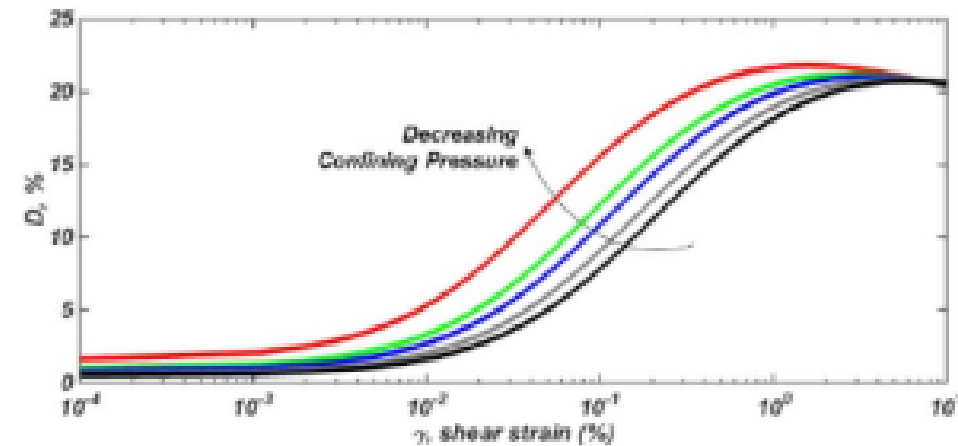
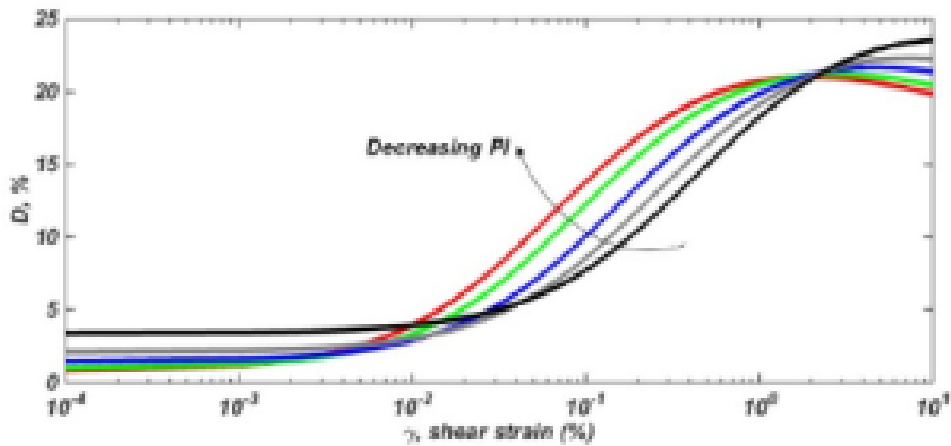
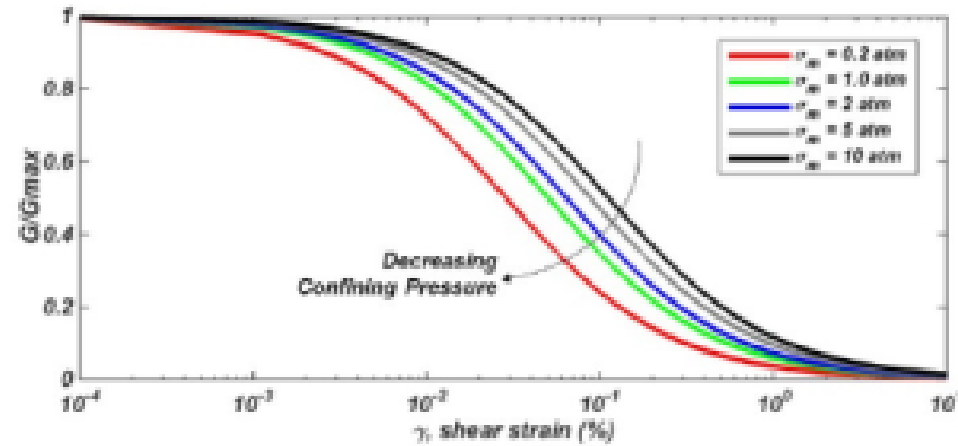
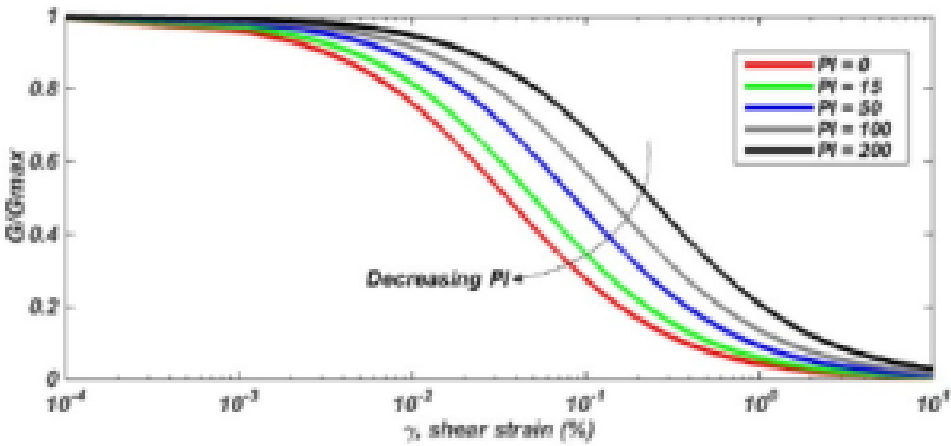
DPCH (Crosshole, 2 scptu,
Dr. Cox (UT AUSTIN))

MASW + MAM
Geostudios, Nestor

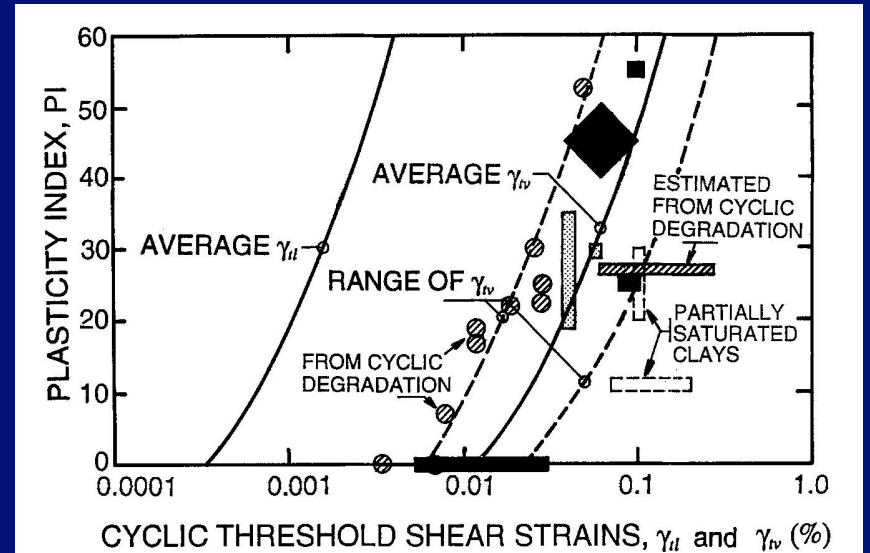
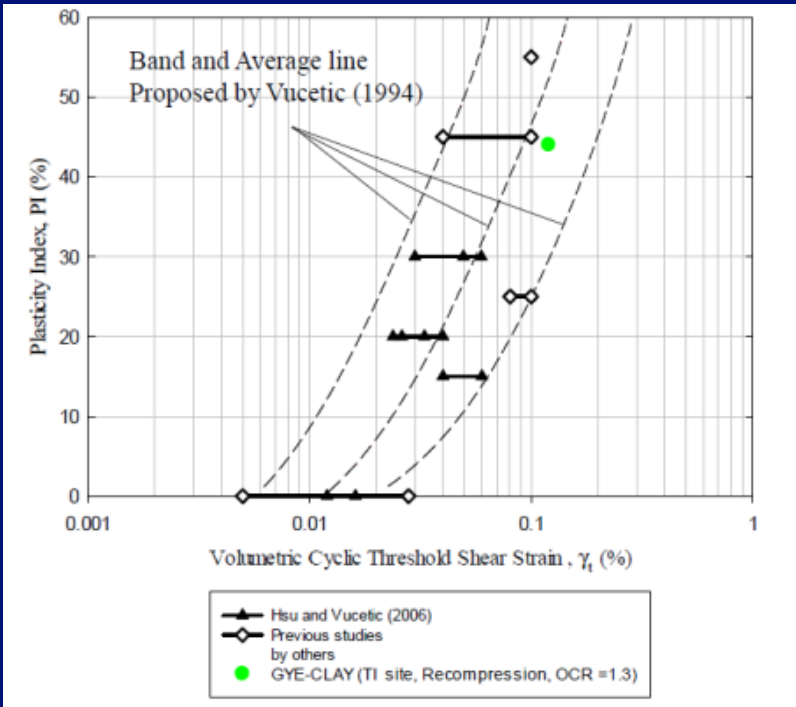
SDMT (Dilatometro dinamico)
Dr. Amoroso

SCPT (Downhole)
SUBTERRA, Ing. Illingworth

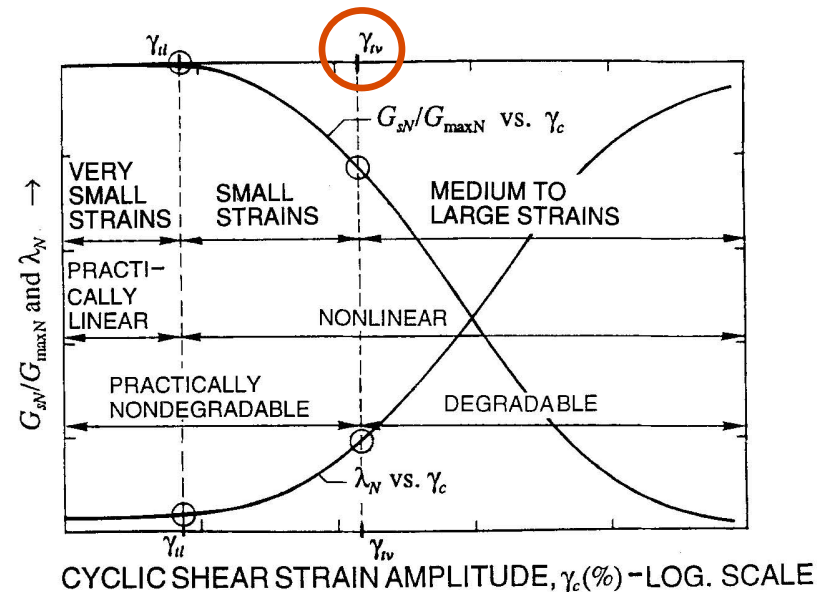
Esfuerzo confinante constante



Volumetric Threshold Strain

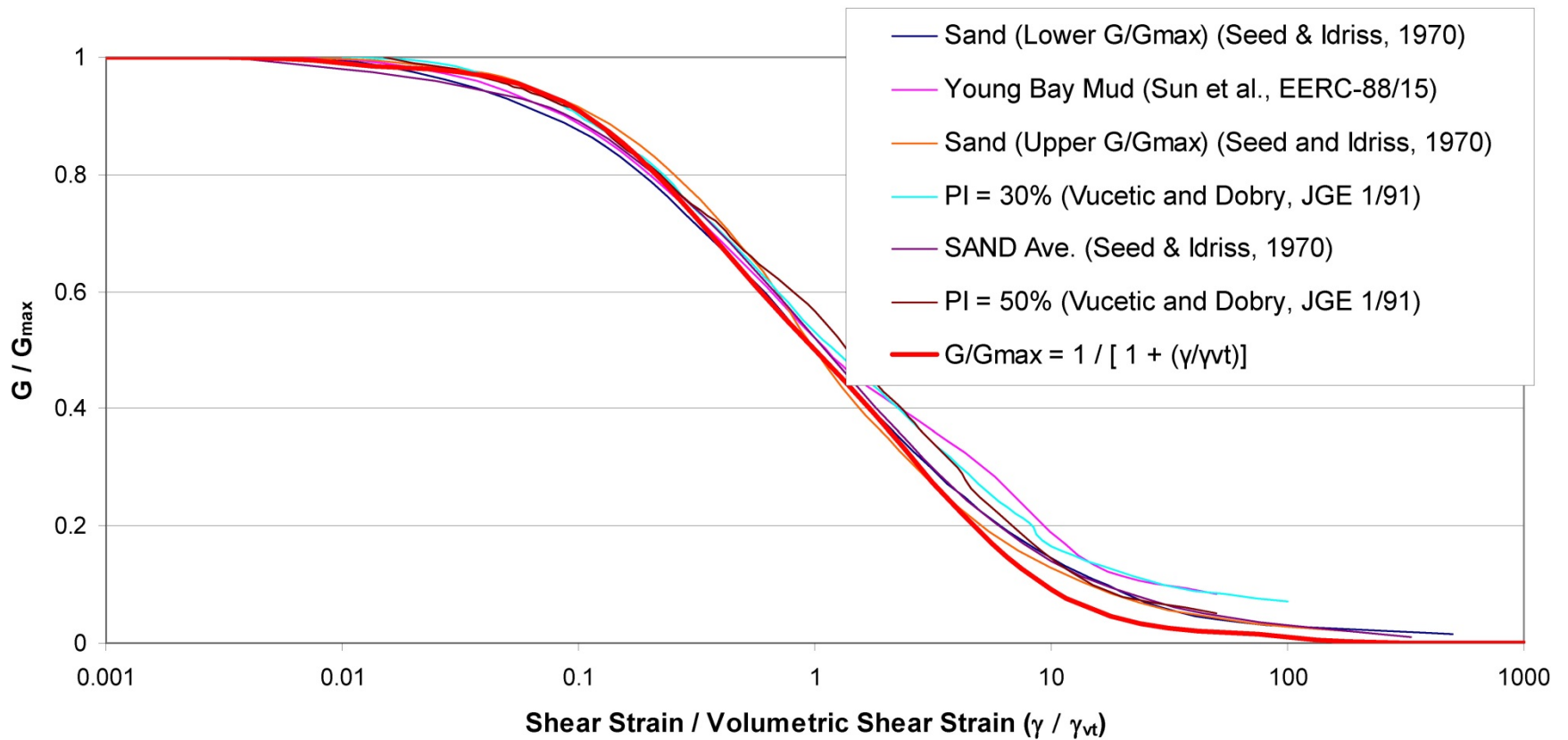


Vucetic (1994)

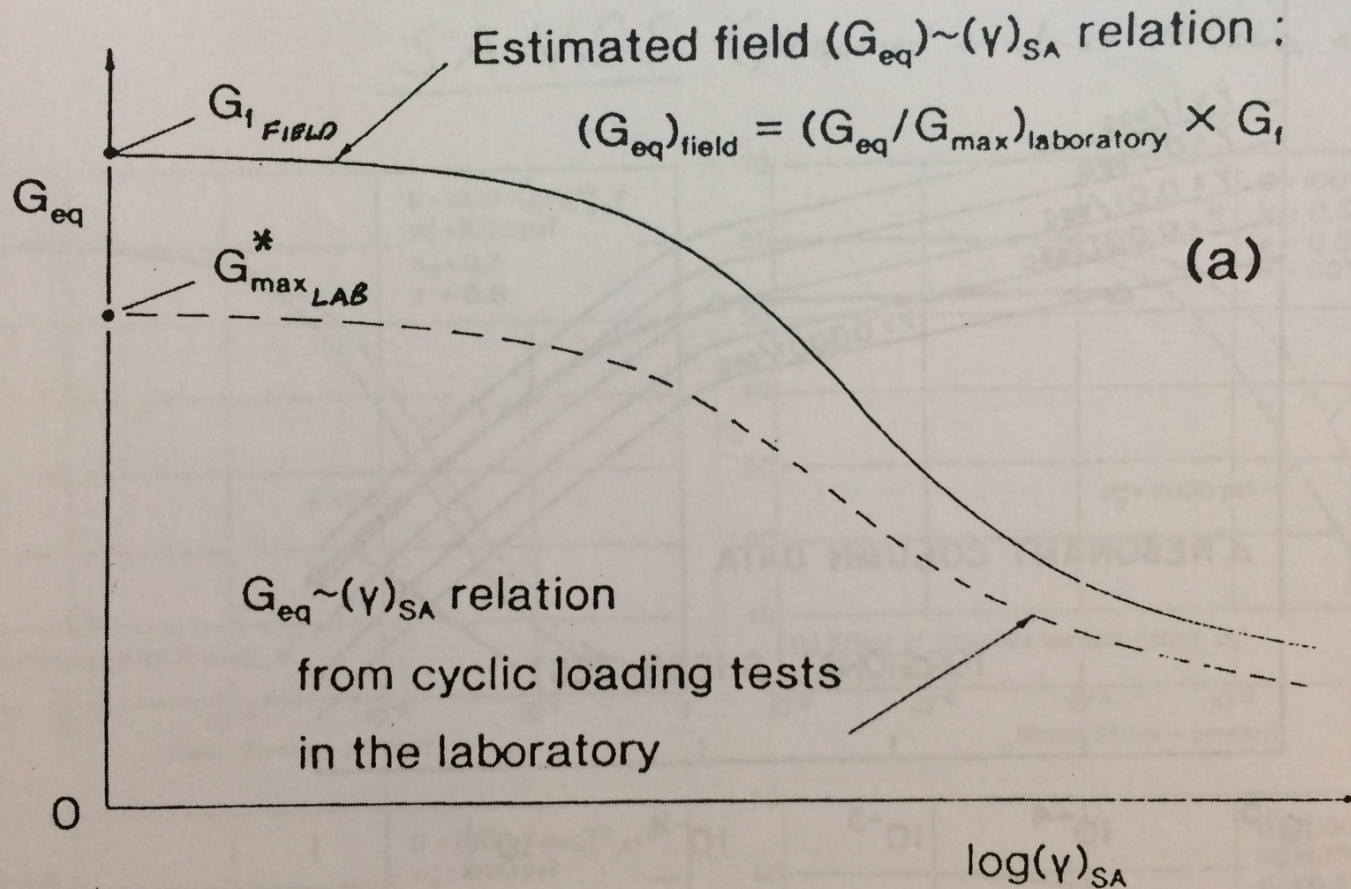


Normalized Response

G / G_{max} vs γ / γ_{vt}

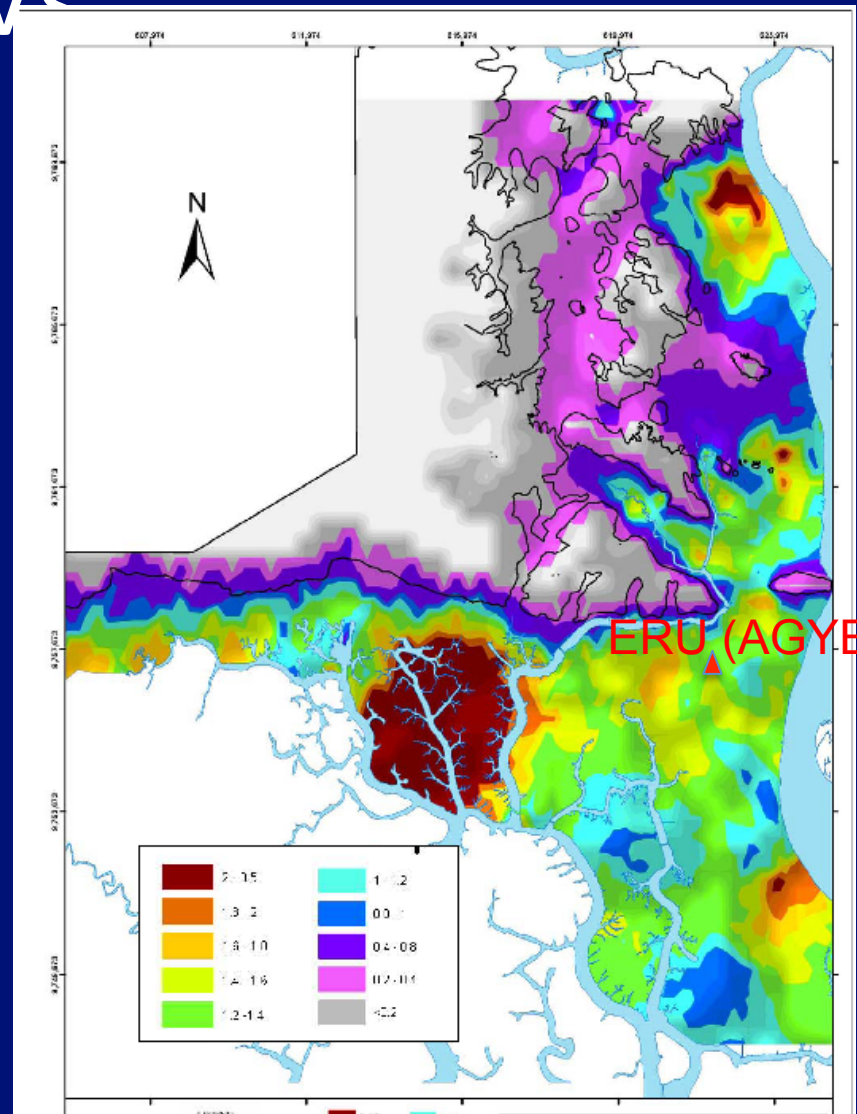
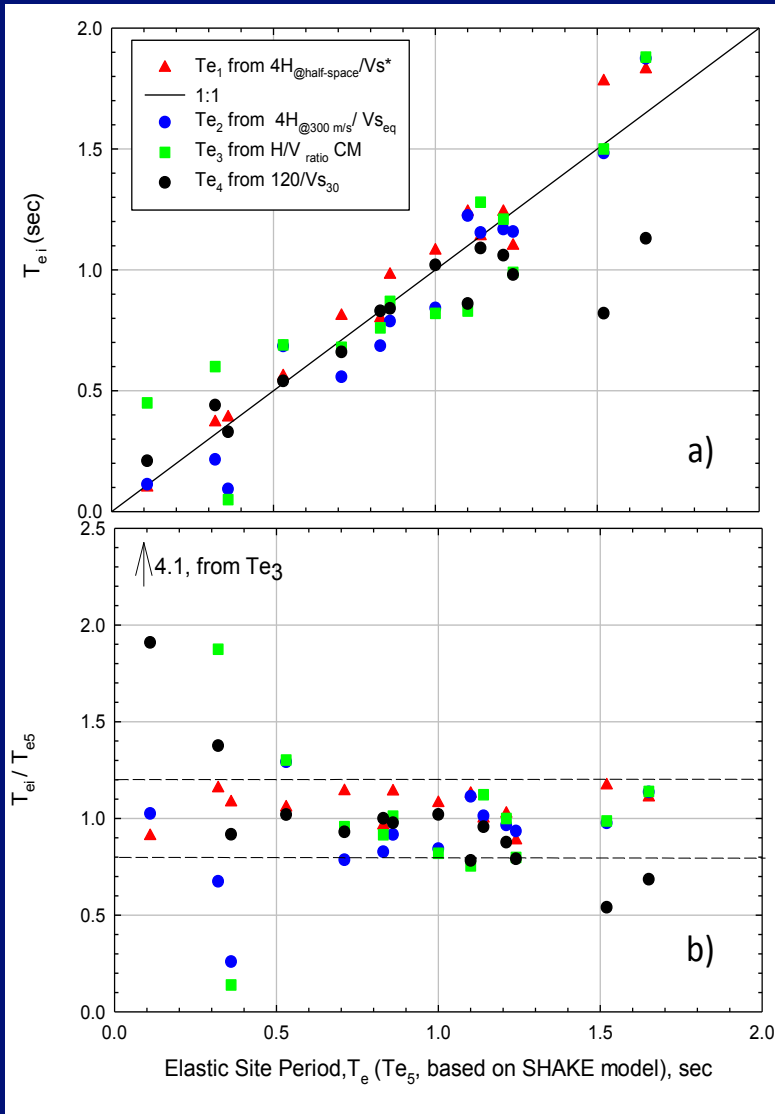


Field Strain-Dependent Shear Modulus Reduction Curve



(after Tatsuoka et al. 1995)

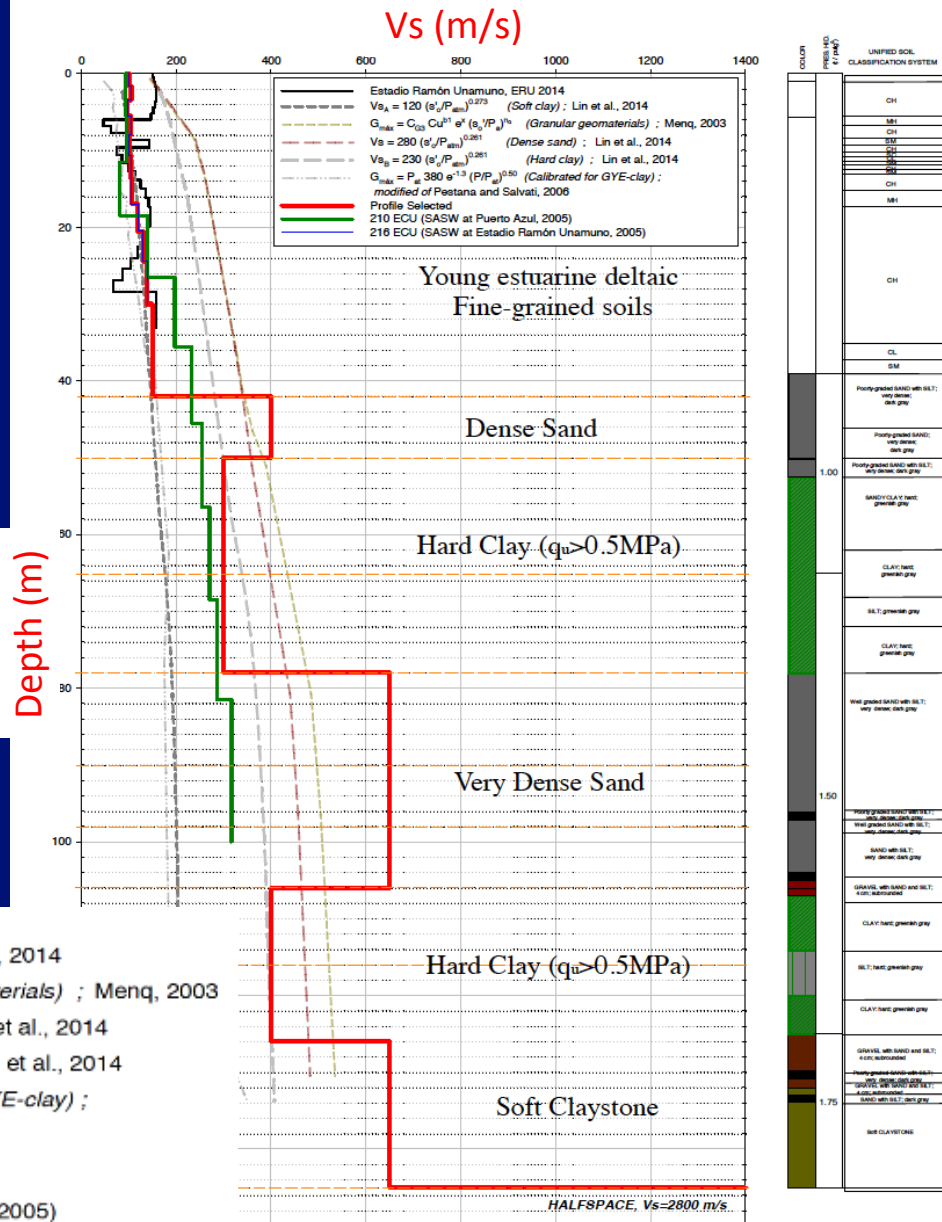
$$V_s^* = (\sum V_{si} \cdot H_i) / H_{total}, \quad T_{e1} = 4H_{total} / V_s^*$$

 V_c


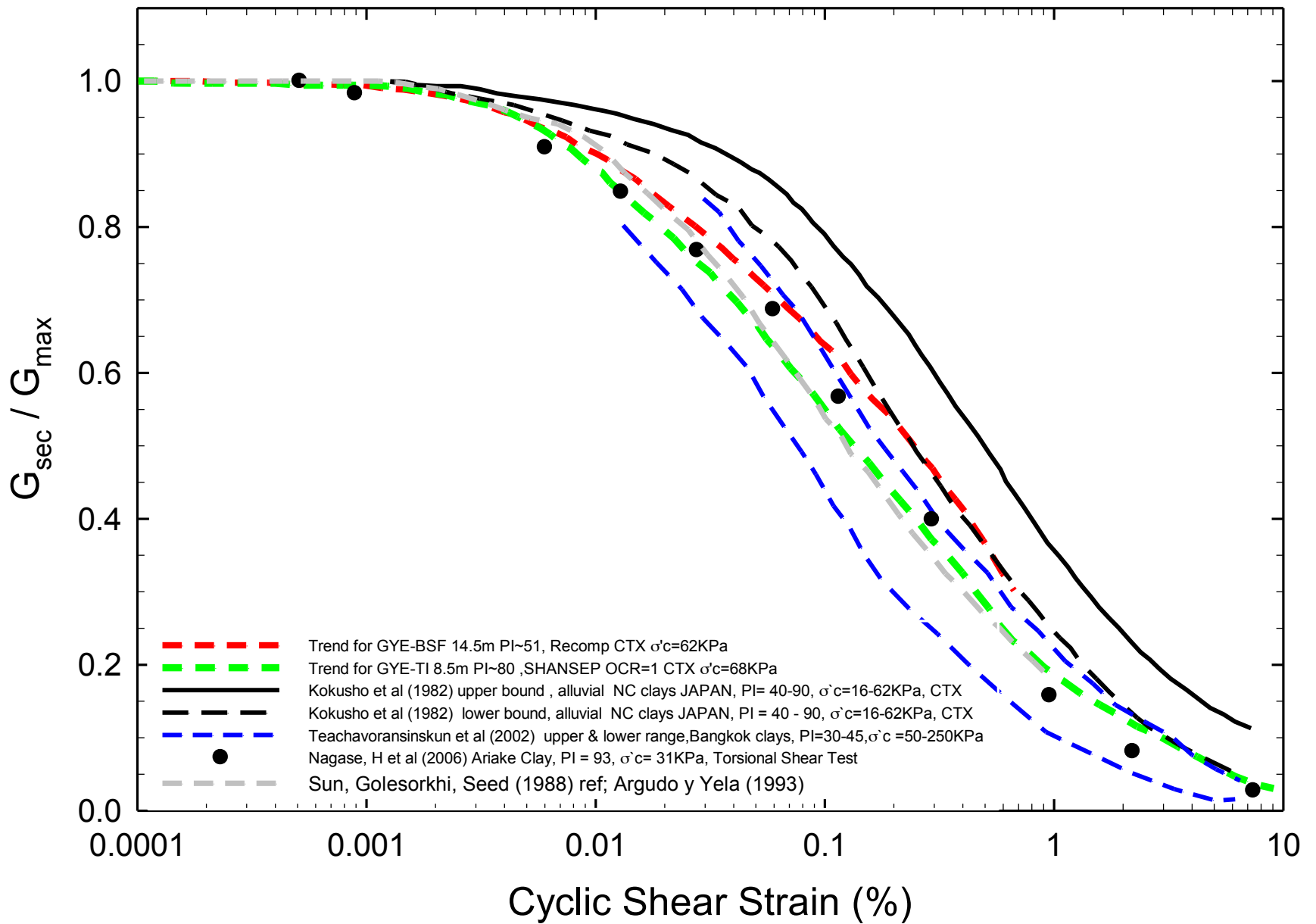
Seismic calibration

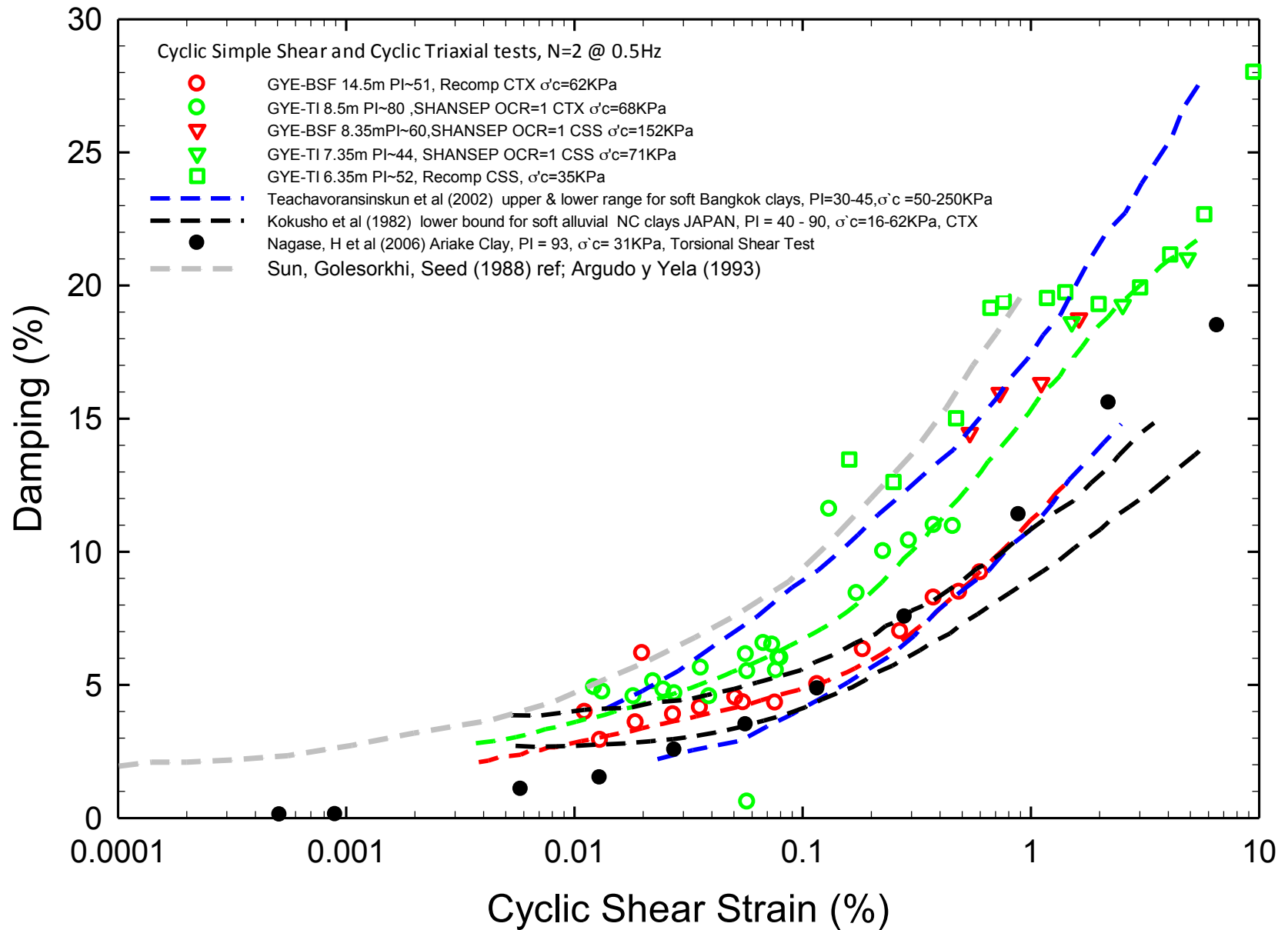
Te = 1.55s

Site ERU



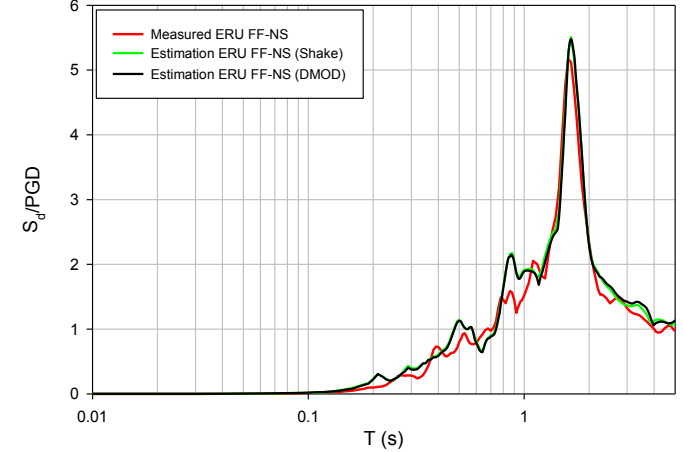
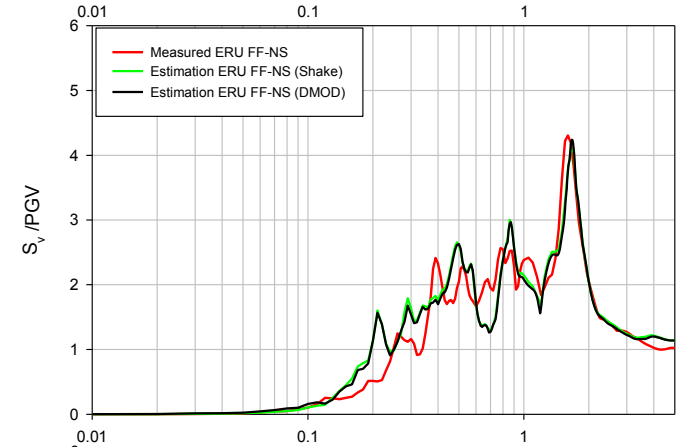
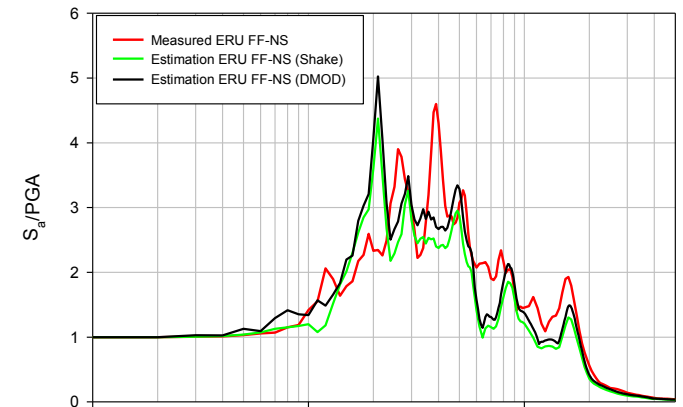
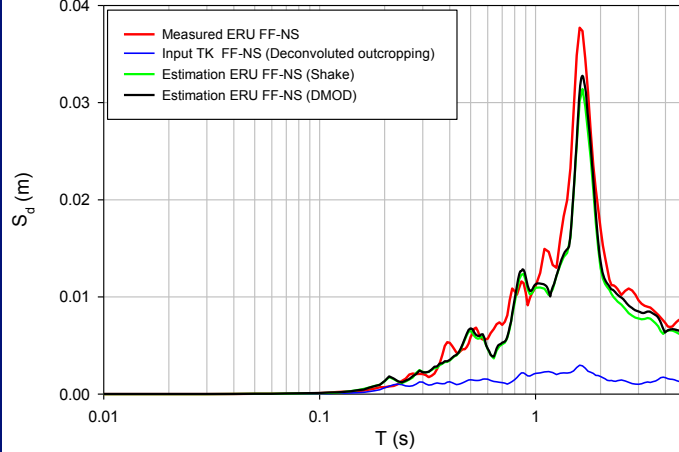
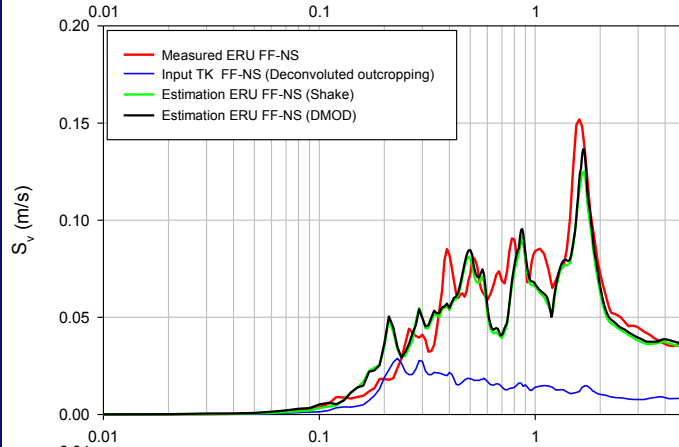
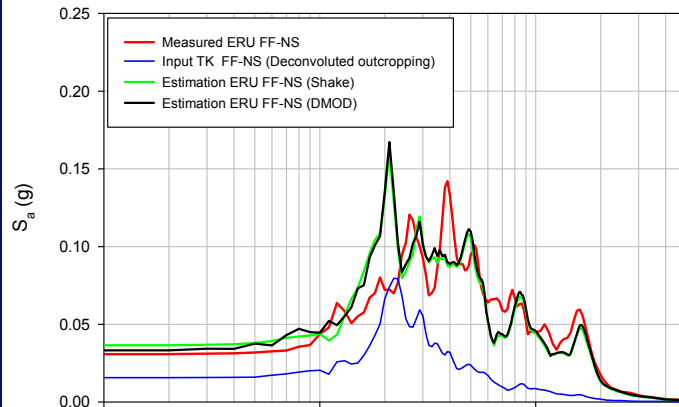
- Estadio Ramón Unamuno, ERU 2014
- $V_{s\lambda} = 120 (s'_o/P_{atm})^{0.273}$ (Soft clay) ; Lin et al., 2014
- $G_{max} = C_{G3} Cu^{b1} e^x (s'_o/P_a)^{n_a}$ (Granular geomaterials) ; Menq, 2003
- $V_s = 280 (s'_o/P_{atm})^{0.261}$ (Dense sand) ; Lin et al., 2014
- $V_{s\beta} = 230 (s'_o/P_{atm})^{0.261}$ (Hard clay) ; Lin et al., 2014
- $G_{max} = P_{at} 380 e^{-1.3} (P/P_{at})^{0.50}$ (Calibrated for GYE-clay) ; modified of Pestana and Salvati, 2006
- Profile Selected
- 210 ECU (SASW at Puerto Azul, 2005)
- 216 ECU (SASW at Estadio Ramón Unamuno, 2005)





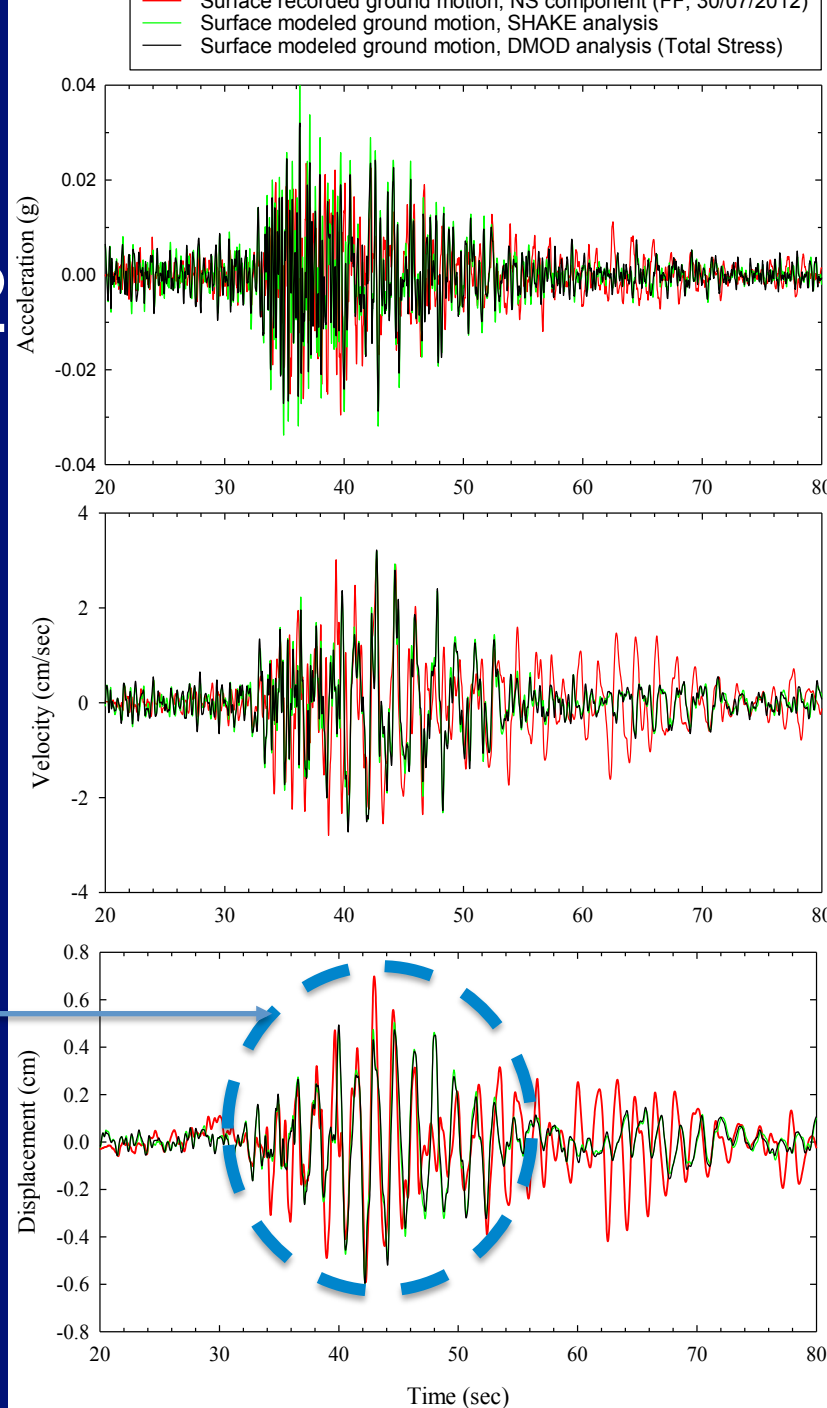
Sismo 30 /7/2012

R = 101 km
Subduction
event
Mw = 5.3

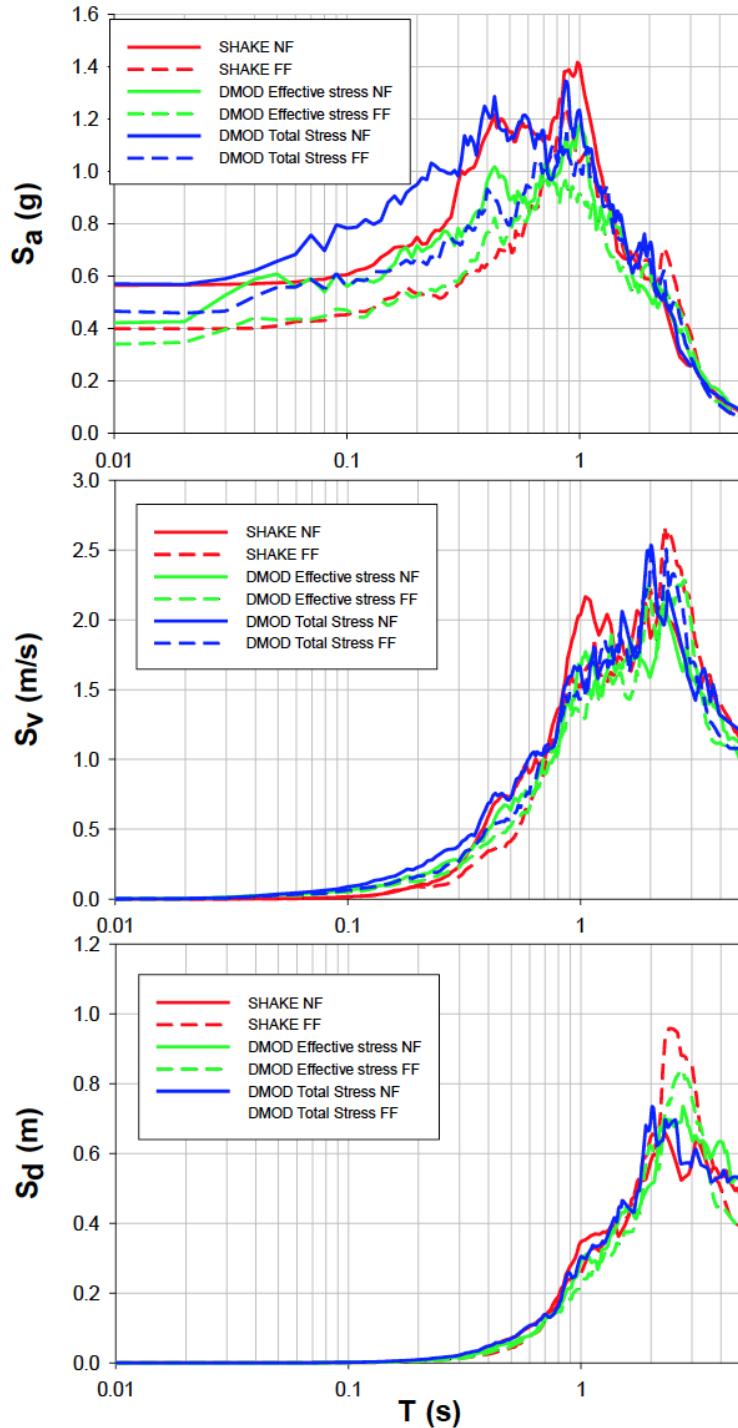


Sismo 30 /7/2012

Ondas de corte

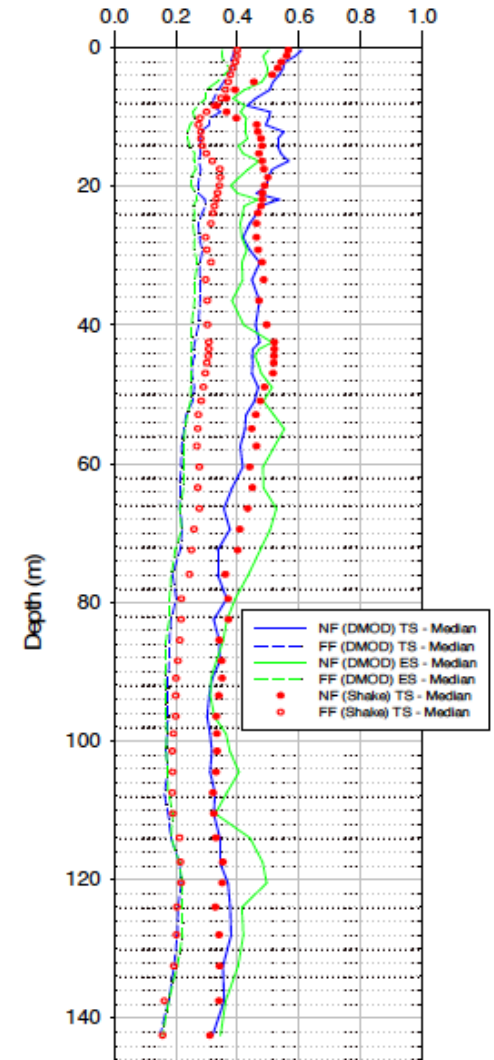
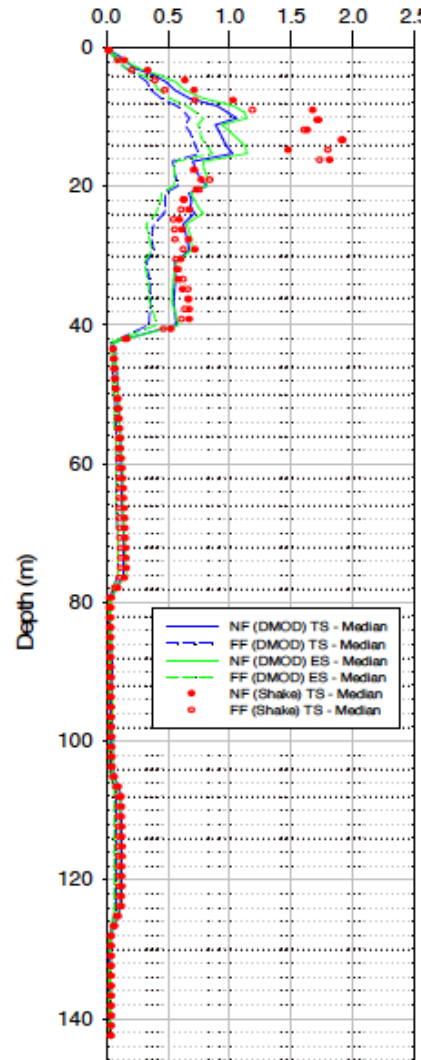


Análisis de sismos de diseño para sitio ERU, $T_r = 475$ años

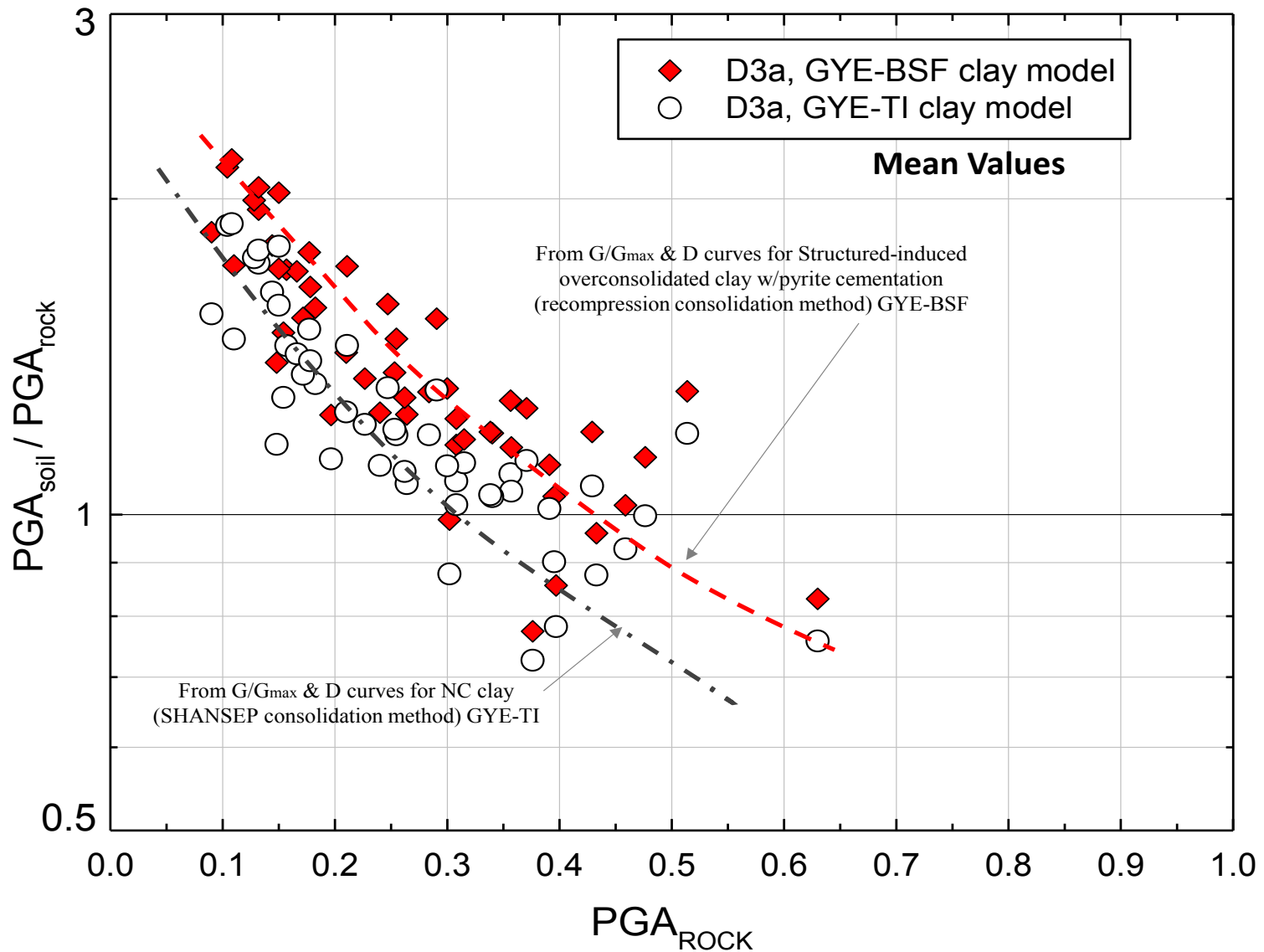


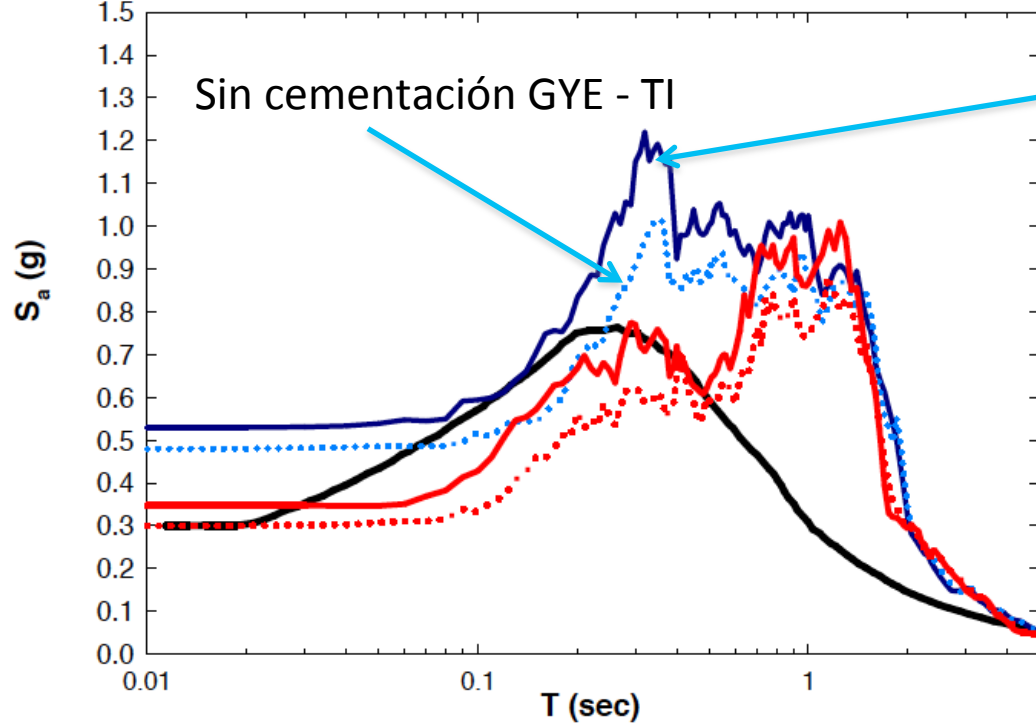
γ_{max} (%)

PGA (g)



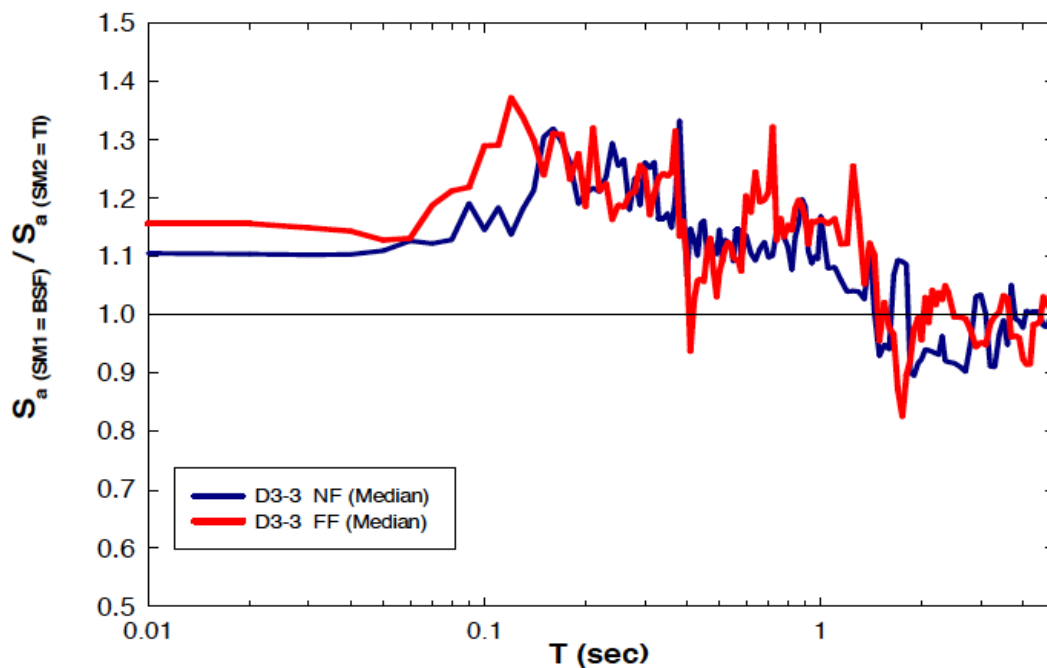
Efecto de cementación de las arcillas GYE



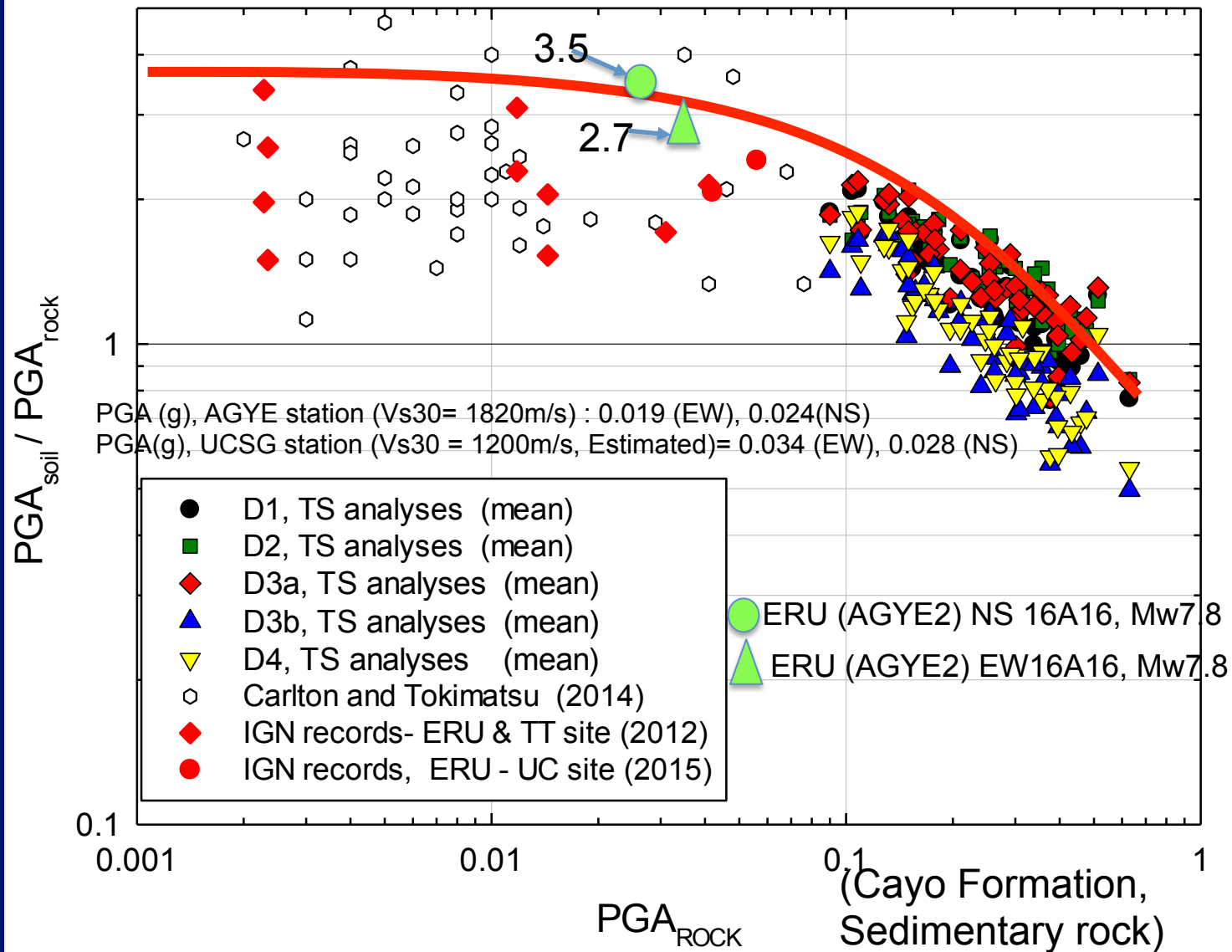


Con cementación GYE- BSF

PGA_{median} NF (SM1/BSF) = 0.53g
 PGA_{median} NF (SM2/TI) = 0.48g
 PGA_{median} FF (SM1/BSF) = 0.34g
 PGA_{median} FF (SM2/TI) = 0.30g
 Elastic site period, $T_e = 1.01$ sec
 $V_{s30m} = 110$ m/sec



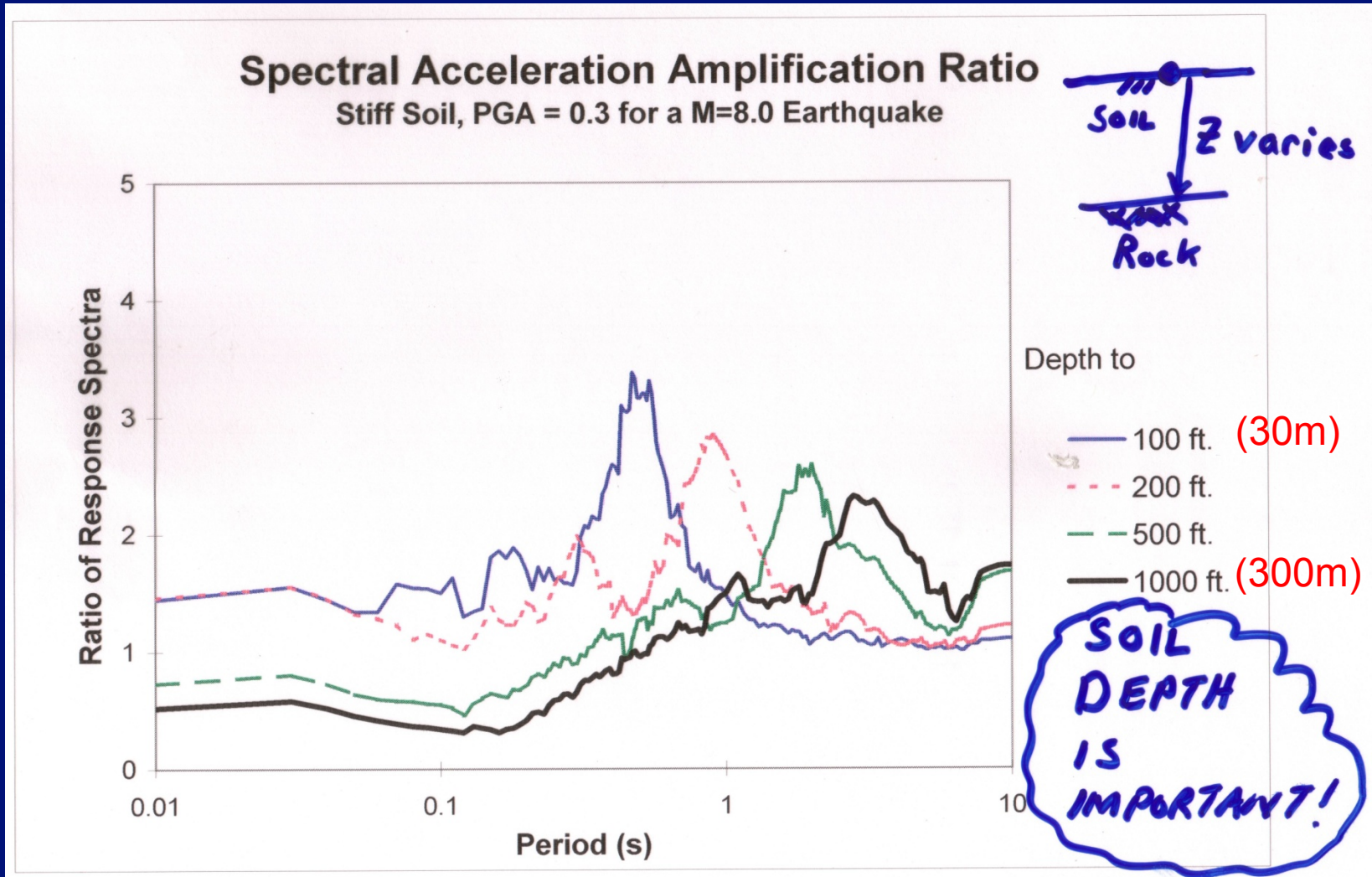
— UHS ($T_r = 475$ yrs) Firm to hard rock site
 — D3-3 SM1 (GYE-BSF), NF (Median)
 - - - D3-3 SM2 (GYE-TI), NF (Median)
 — D3-3 SM1 (GYE-BSF), FF (Median)
 - - - D3a-3 SM2 (GYE-TI), FF (Median)



SITE EFFECTS

Effects of Depth to Bedrock

(Bray, 2017)



SITE EFFECTS

Effects of Soft Soil

(Bray, 2017)

